

International Nonproprietary Names for Pharmaceutical Substances (INN)

RECOMMENDED International Nonproprietary Names: List 72

Notice is hereby given that, in accordance with paragraph 7 of the Procedure for the Selection of Recommended International Nonproprietary Names for Pharmaceutical Substances [*Off. Rec. Wld Health Org.*, 1955, **60**, 3 (Resolution EB15.R7); 1969, **173**, 10 (Resolution EB43.R9); Resolution EB115.R4 (EB115/2005/REC/1)], the following names are selected as Recommended International Nonproprietary Names. The inclusion of a name in the lists of Recommended International Nonproprietary Names does not imply any recommendation of the use of the substance in medicine or pharmacy.

Lists of Proposed (1–109) and Recommended (1–70) International Nonproprietary Names can be found in *Cumulative List No. 15, 2013* (available in CD-ROM only).

Dénominations communes internationales des Substances pharmaceutiques (DCI)

Dénominations communes internationales RECOMMANDÉES: Liste 72

Il est notifié que, conformément aux dispositions du paragraphe 7 de la Procédure à suivre en vue du choix de Dénominations communes internationales recommandées pour les Substances pharmaceutiques [*Actes off. Org. mond. Santé*, 1955, **60**, 3 (résolution EB15.R7); 1969, **173**, 10 (résolution EB43.R9); résolution EB115.R4 (EB115/2005/REC/1)] les dénominations ci-dessous sont choisies par l'Organisation mondiale de la Santé en tant que dénominations communes internationales recommandées. L'inclusion d'une dénomination dans les listes de DCI recommandées n'implique aucune recommandation en vue de l'utilisation de la substance correspondante en médecine ou en pharmacie.

On trouvera d'autres listes de Dénominations communes internationales proposées (1–109) et recommandées (1–70) dans la *Liste récapitulative No. 15, 2013* (disponible sur CD-ROM seulement).

Denominaciones Comunes Internacionales para las Sustancias Farmacéuticas (DCI)

Denominaciones Comunes Internacionales RECOMENDADAS: Lista 72

De conformidad con lo que dispone el párrafo 7 del Procedimiento de Selección de Denominaciones Comunes Internacionales Recomendadas para las Sustancias Farmacéuticas [*Act. Of. Mund. Salud*, 1955, **60**, 3 (Resolución EB15.R7); 1969, **173**, 10 (Resolución EB43.R9); Résolution EB115.R4 (EB115/2005/REC/1) EB115.R4 (EB115/2005/REC/1)], se comunica por el presente anuncio que las denominaciones que a continuación se expresan han sido seleccionadas como Denominaciones Comunes Internacionales Recomendadas. La inclusión de una denominación en las listas de las Denominaciones Comunes Recomendadas no supone recomendación alguna en favor del empleo de la sustancia respectiva en medicina o en farmacia.

Las listas de Denominaciones Comunes Internacionales Propuestas (1–109) y Recomendadas (1–70) se encuentran reunidas en *Cumulative List No. 15, 2013* (disponible sólo en CD-ROM).

Latin, English, French, Spanish:
Recommended INN

Chemical name or description; Molecular formula; Graphic formula

DCI Recommandée

Nom chimique ou description; Formule brute; Formule développée

DCI Recomendada

Nombre químico o descripción; Fórmula molecular; Fórmula desarrollada

abametapirum

abametapir

5,5'-dimethyl-2,2'-bipyridinyl

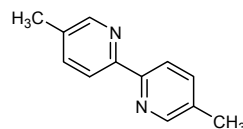
abamétapir

5,5'-diméthyl-2,2'-bipyridinyle

abametapir

5,5'-dimetyl-2,2'-bipiridinilo

C₁₂H₁₂N₂



acidum bempedoicum

bempedoic acid

8-hydroxy-2,2,14,14-tetramethylpentadecanedioic acid

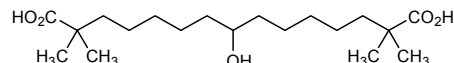
acide bempédoïque

acide 8-hydroxy-2,2,14,14-tétraméthylpentadécanedioïque

ácido bempedoico

ácido 8-hidroxi-2,2,14,14-tetrametilpentadecanodióco

C₁₉H₃₆O₅



aclarastidum

aclarastide

[3-(L-2-aminohexanoic acid)]angiotensin II-(1-7)-peptide

aclérastide

[3-(acide L-2-aminohexanoïque)]angiotensine II-(1-7)-peptide

aclarastida

[3-(ácido L-2-aminohexanoico)]angiotensina II-(1-7)-péptido

C₄₂H₆₄N₁₂O₁₁

H—Asp—Arg—Nle—Tyr—Ile—His—Pro—OH

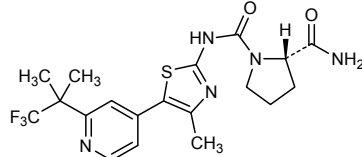
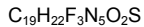
7

aducanumab #

aducanumab

immunoglobulin G1-kappa, anti-[*Homo sapiens* amyloid beta (Abeta, Aβ) peptide], *Homo sapiens* monoclonal antibody; gamma1 heavy chain (1-453) [*Homo sapiens* VH (IGHV3-33*01 (93.90%) -(IGHD)-IGHJ6*03) [8.8.17] (1-124) -IGHG1*03 (CH1 (125-222), hinge (223-237), CH2 (238-347), CH3 (348-452), CHS K2>del (453)) (125-453)], (227-214')-disulfide with kappa light chain (1'-214') [*Homo sapiens* V-KAPPA (IGKV1-39*01 (100.00%) -IGKJ4*01) [6.3.9] (1'-107') -IGKC*01 (108'-214')]; dimer (233-233":236-236")-bisdisulfide

aducanumab	immunoglobuline G1-kappa, anti-[<i>Homo sapiens</i> peptide amyloïde bêta (Abéta, Aβ)], <i>Homo sapiens</i> anticorps monoclonal; chaîne lourde gamma1 (1-453) [<i>Homo sapiens</i> VH (IGHV3-33*01 (93.90%) -(IGHD)-IGHJ6*03) [8.8.17] (1-124) -IGHG1*03 (CH1 (125-222), charnière (223-237), CH2 (238-347), CH3 (348-452), CHS K2>del (453)) (125-453)], (227-214')-disulfure avec la chaîne légère kappa (1'-214') [<i>Homo sapiens</i> V-KAPPA (IGKV1-39*01 (100.00%) -IGKJ4*01) [6.3.9] (1'-107') -IGKC*01 (108'-214')]; dimère (233-233":236-236")-bisdisulfure
aducanumab	inmunoglobulina G1-kappa, anti-[péptido amiloide beta de <i>Homo sapiens</i> (Abeta, Aβ)], <i>Homo sapiens</i> anticuerpo monoclonal; cadena pesada gamma1 (1-453) [<i>Homo sapiens</i> VH (IGHV3-33*01 (93.90%) -(IGHD)-IGHJ6*03) [8.8.17] (1-124) -IGHG1*03 (CH1 (125-222), bisagra (223-237), CH2 (238-347), CH3 (348-452), CHS K2>del (453)) (125-453)], (227-214')-disulfuro con la cadena ligera kappa (1'-214') [<i>Homo sapiens</i> V-KAPPA (IGKV1-39*01 (100.00%) -IGKJ4*01) [6.3.9] (1'-107') -IGKC*01 (108'-214')]; dímero (233-233":236-236")-bisdisulfuro
Heavy chain / Chaîne lourde / Cadena pesada	
	QVQLVESGGG VVQPGRSRL SCAASGFAFS SYGMHWVRQD PGKGLEWAVV 50 IWFDGTKKYY TDSVKGRFTI SRDN SKNTLY LQMTLRAED TAVVYCARDE 100 GIGARRGPYY MDVWKGTTV TVSSA STKGP SVFPLAPPSK STSGTAALG 150 CLVKDYFPEP VTWSWNSGAL TSGVHTFFAV LQSSGLYSLS SVVTVPSSL 200 GQTQYICNVN HKPSNTKVDK RVEPKSCDKT HTCPCPAPF LLGPPSVFL 250 PPKPDTLMI SRTP EPTVCKV DVDSHEDEPV KFNWYVDGVE VHNAKTKPREE 300 EQYNSTYRVV SVLTVLHQDW LNGKEYKCV SNKALPAPIE KTISKAKGQ 350 REPQVYTLPP SREEMTKNQV SLTCLVKGFY PSDIAVEWES NGQPENNYKT 400 TPPVLDSDG FFLYSKLTVD KSRWQQGNVF SCSTMHEALH NHYTQKSLSL 450 SPG 453
Light chain / Chaîne légère / Cadena ligera	
	D1QMTQSPSS LSA S VGD RVT ITCRASQSIS SYLNWYQQKP GKAPKLLIYA 50 ASSLQSGVPS RFSGSGSGTD FTLTISSLPQ EDFATYYCQQ SYSTPLTFGG 100 GTVKEIKRTV AAPSVFIFPP SDEQLKSGTA SVVCLLNFFY PREAKVQWKV 150 DNA LQSGNSQ ESVTEQDSKD STY SLS STLT LSKADYEKHK VYACEVTHQG 200 LSSPVTKSFN RGEC 214
Disulfide bridges location / Position des ponts disulfure / Posiciones de los puentes disulfuro	
Intra-H (C23-C104)	22-96 151-207 268-328 374-432 22"-96" 151"-207" 268"-328" 374"-432"
Intra-L (C23-C104)	23"-88" 134"-194" 23"-88" 134"-194"
Inter-H-L (h 5-CL 126)	227-214"
Inter-H-H (h 11, h 14)	233-233" 236-236"
N-glycosylation sites / Sites de N-glycosylation / Posiciones de N-glicosilación	
H CH2 N84.4:	304, 304"
alpelisibum	
alpelisib	(2S)-N ¹ -{4-methyl-5-[1-(1,1,1-trifluoro-2-methylpropan-2-yl)pyridin-4-yl]-1,3-thiazol-2-yl}pyrrolidine-1,2-dicarboxamide
alpelisib	(2S)-N ¹ -{4-méthyl-5-[1-(1,1,1-trifluoro-2-méthylpropan-2-yl)pyridin-4-yl]-1,3-thiazol-2-yl}pyrrolidine-1,2-dicarboxamide
alpelisib	(2S)-N ¹ -{4-metil-5-[1-(1,1,1-trifluoro-2-metilpropan-2-il)piridin-4-il]-1,3-tiazol-2-il}pirrolidina-1,2-dicarboxamida



andexanet alfa #
andexanet alfa

des-(6-39)-human blood-coagulation factor X light chain (98-108')-disulfide with [185'-alanine (S>A)]human activated factor Xa heavy chain, produced in Chinese hamster ovary (CHO) cells (glycoform alfa)

andexanet alfa

(98-108')-disulfure entre la dés-(6-39)-chaîne légère du facteur X de coagulation humain et la [185'-alanine (S>A)]chaîne lourde du facteur Xa activé de coagulation humain glycosylé, produit par les cellules ovariennes de hamster chinois (CHO) (glycoforme alfa)

andexanet alfa

(98-108')-disulfuro entre la des-(6-39)-cadena ligera del factor X de coagulación humano y la [185'-alanina (S>A)]cadena pesada del factor Xa activado de coagulación humano glicosilado, producido por cultivo de células ováricas de hamster chino (CHO) (glicoforma alfa)

Light chain / Chaîne légère / Cadena ligera

ANSFLFWNKY	KDGDQCETSP	CQNQGKCKDG	LGEYTCTCLE	GFEGLKNCELF	50
TRKLCSLDNG	DCDQFCHEEQ	NSVVCSCARG	YTLADNGKAC	IPTGPYPCCGK	100
QTILER					105

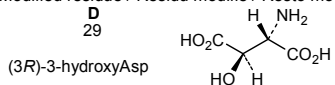
Heavy chain / Chaîne lourde / Cadena pesada

IVGGQECKDG	ECPWQALLIN	EENEFGCCGT	ILSEFYILTA	AHCLYQAKRF	50'
KVRVGDRNTE	QEEGGEAVHE	VEVVIKHNRF	TRETYDFDIA	VRLKTPITF	100'
RMNVAPACLP	ERDWAESTLM	TOKTGIVSGF	GRTHEKGRQS	TRLKMLEVFT	150'
VDRNSCKLSS	SFIITQNMFC	AGYDTKQEDA	CQGDAGGPHV	TRFKDTYFVT	200'
SPLK					254'

Disulfide bridges location / Position des ponts disulfure / Posiciones de los puentes disulfuro

7'-12' 16-27 21-36 27'-43' 38-47 55-66
62-75 77-90 98-108' 156'-170' 181'-209'

Modified residue / Résidu modifié / Resto modificado



Glycosylation sites (* confirmed) / Sites de glycosylation (* confirmé) / Posiciones de glicosilación (* confirmada)

Ser-56 Ser-72 Ser-76 Thr-82 *Thr-249'

apabetalonum
apabetalone

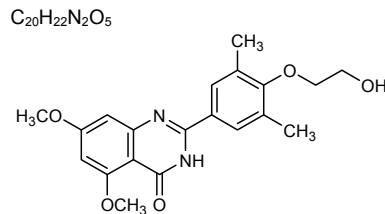
2-[4-(2-hydroxyethoxy)-3,5-dimethylphenyl]-5,7-dimethoxyquinazolin-4(3*H*)-one

apabétalone

2-[4-(2-hydroxyéthoxy)-3,5-diméthylphényle]-5,7-diméthoxyquinazolin-4(3*H*)-one

apabetalona

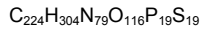
2-[4-(2-hidroxietoxi)-3,5-dimetilfenil]-5,7-dimetoxiquinazolin-4(3*H*)-ona



apatorsenum
apatorsen

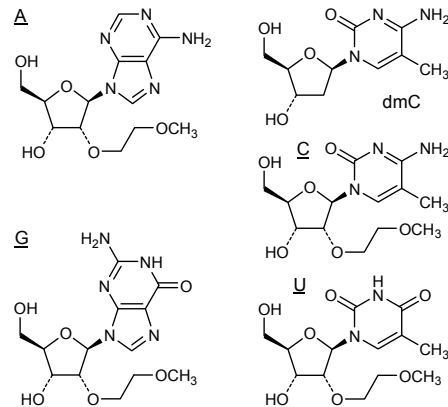
apatorsen

apatorsén



(3'→5')d(P-thio)(rG-rG-rG-rA-mC-G-mC-G-G-mC-G-mC-T-mC-G-G-rU-rC-rA-rU)

Modified nucleosides / Nucléosides modifiés / Nucleosidos modificados



astodrimerum
astodrimer

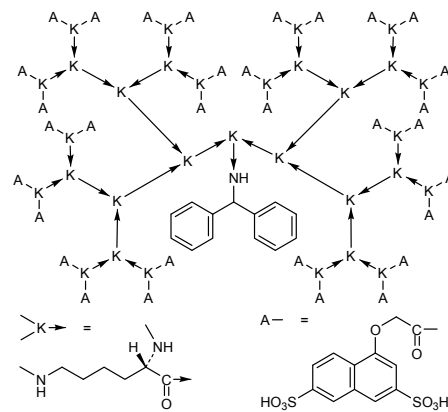
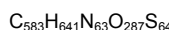
$N^2,N^6\text{-bis}\{N^2,N^6\text{-bis}[N^2,N^6\text{-bis}(N^2,N^6\text{-bis}\{N^2,N^6\text{-bis}\{[3,6\text{-disulfonaphthalen-1-yloxy]acétyl]\text{-L-lysyl}\}\text{-L-lysyl}\}\text{-L-lysyl}\}\text{-N}^1\text{-}(diphenylmethyl)\text{-L-lysinamide}}$

astodrimère

$N^2,N^6\text{-bis}\{N^2,N^6\text{-bis}[N^2,N^6\text{-bis}(N^2,N^6\text{-bis}\{N^2,N^6\text{-bis}\{[3,6\text{-disulfonaphthalén-1-yloxy]acétyl]\text{-L-lysyl}\}\text{-L-lysyl}\}\text{-L-lysyl}\}\text{-N}^1\text{-}(diphénylméthyl)\text{-L-lysinamide}$

astodrímero

$N^2,N^6\text{-bis}\{N^2,N^6\text{-bis}\{N^2,N^6\text{-bis}\{N^2,N^6\text{-bis}\{N^2,N^6\text{-bis}\{[3,6\text{-disulfonanthalen-1-iloxi)acetyl]\text{-L-lisil}\}\text{-L-lisil}\}\text{-L-lisil}\}\text{-L-lisil}\}\text{-N}^1\text{-}(difenilmethyl)\text{-L-lisinamida}$



batefenterolum

batefenterol

1-(3-{{[2-chloro-4-({{[(2R)-2-hydroxy-2-(8-hydroxy-2-oxo-1,2-dihydroquinolin-5-yl)ethyl]amino}methyl)-5-methoxyphenyl]amino}-3-oxopropyl)piperidin-4-yl (1,1-biphenyl-2-yl)carbamate

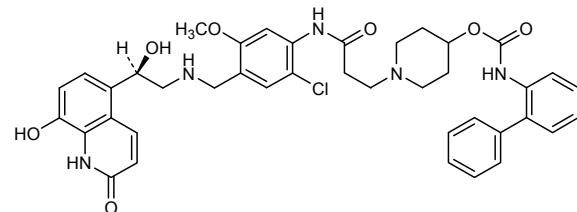
batéfentérol

(1,1-biphenyl-2-yl)carbamate de 1-(3-{{[2-chloro-4-({{[(2R)-2-hydroxy-2-(8-hydroxy-2-oxo-1,2-dihydroquinolin-5-yl)éthyl]amino}méthyl)-5-méthoxyphényl]amino}-3-oxopropyl)pipéridin-4-ylo

batefenterol

(1,1-bifenil-2-il)carbamato de 1-(3-{{[2-cloro-4-({{[(2R)-2-hidroxi-2-(8-hidroxi-2-oxo-1,2-dihidroquinolin-5-il)etil]amino}metil)-5-metoxifenil]amino}-3-oxopropil)piperidin-4-il

C₄₀H₄₂CIN₅O₇

**bimekizumab #**

bimekizumab

immunoglobulin G1-kappa, anti-[*Homo sapiens* IL17A (interleukin 17A) and *Homo sapiens* IL17F (interleukin 17F)], humanized monoclonal antibody; gamma1 heavy chain (1-455) [humanized VH (*Homo sapiens*IGHV3-7*01 (88.70%) -(IGHD)-IGHJ1*01) [8.8.18] (1-125) -*Homo sapiens* IGHG1*01 (CH1 (126-223), hinge (224-238), CH2 (239-348), CH3 (349-453), CHS (454-455)) (126-455)], (228-214')-disulfide with kappa light chain (1'-214') [humanized V-KAPPA (*Homo sapiens* IGKV1-13*02 (80.00%) -IGKJ1*01) [6.3.9] (1'-107') -*Homo sapiens* IGKC*01 (108'-214')]; dimer (234-234":237-237")-bisdisulfide

bimékizumab

immunoglobuline G1-kappa, anti-[*Homo sapiens* IL17A (interleukine 17A) et *Homo sapiens* IL17F (interleukine 17F)], anticorps monoclonal humanisé; chaîne lourde gamma1 (1-455) [VH humanisé (*Homo sapiens*IGHV3-7*01 (88.70%) -(IGHD)-IGHJ1*01) [8.8.18] (1-125) -*Homo sapiens* IGHG1*01 (CH1 (126-223), charnière (224-238), CH2 (239-348), CH3 (349-453), CHS (454-455)) (126-455)], (228-214')-disulfure avec la chaîne légère kappa (1'-214') [V-KAPPA humanisé (*Homo sapiens* IGKV1-13*02 (80.00%) -IGKJ1*01) [6.3.9] (1'-107') -*Homo sapiens* IGKC*01 (108'-214')]; dimère (234-234":237-237")-bisdisulfure

bimekizumab

inmunoglobulina G1-kappa, anti-[*Homo sapiens* IL17A (interleukina 17A) et *Homo sapiens* IL17F (interleukina 17F)], anticuerpo monoclonal humanizado; cadena pesada gamma1 (1-455) [VH humanizado (*Homo sapiens*IGHV3-7*01 (88.70%) -(IGHD)-IGHJ1*01) [8.8.18] (1-125) -*Homo sapiens* IGHG1*01 (CH1 (126-223), bisagra (224-238), CH2 (239-348), CH3 (349-453), CHS (454-455)) (126-455)], (228-214')-disulfuro con la cadena ligera kappa (1'-214') [V-KAPPA humanizado (*Homo sapiens* IGKV1-13*02 (80.00%) -IGKJ1*01) [6.3.9] (1'-107') -*Homo sapiens* IGKC*01 (108'-214')]; dímero (234-234":237-237")-bisdisulfuro

Heavy chain / Chaîne lourde / Cadena pesada

EVQLVESGGG LVQPGGSLRL SCAASGFTFS DYNMAWVRQA PGKGLEWVAT 50
 ITYEGRNTYY RDSVKGFTI SRDNAKNSLY LQMNSLRAED TAVYICASPP 100
 QYYEGSIZYRL WFAHWGGGTL VTVSSASTKQ PSVFPLAPSS KSTSGTTAAL 150
 GCLVKDVFPE PVTVWSNSGA LTSGVHTFPV VLQSSGLYSL SSVVTVPSS 200
 LGTQTYCINV NHKPSNTKVD KKVEPKSCDR THTCPPCPAP ELLGGPSVFL 250
 FPPKPDKTLM ISRTPVEVTCV VVDVSHDPE VKFNWVXDGV EVHNAKTAKPR 300
 EEQYNSTYRV VSVLTVLHQD WLNGKEYKCK VSNKALPAPI EKTISKAKQ 350
 PREPQVYTLPSRDELTKNQ VSLTCLVKGE YPSDIAVEWE SNGQPENNYK 400
 TPPVLDSDG SFFLYSKLT DKSRWQQGNV FSCSVMHEAL HNHYTQKSLS 450
 LSPGK 455

Light chain / Chaîne légère / Cadena ligera

AIQLTQSPPS LSASVGDRVT ITCRADESVR TLMHWYQQKP GKAPKLLIYL 50
 VSNSEIGVPD RFSGSSGSTD FRLLTISSLQP EDFATYVCQQ TWSDPWTFQ 100
 GTKVEIKRTV AAPSVFIFPP SDEQLKSGTA SVVCLNNFY PREAKVQWKV 150
 DNALQSGNSQ ESVTEQDSKD STYSLSSSTLT LSKADYEKHK VYACEVTHQG 200
 LSSPVTKSFN RGEC 214

Disulfide bridges location / Position des ponts disulfure / Posiciones de los puentes disulfuro

Intra-H (C23-C104) 22-96 152-208 269-329 375-433
 22"-96" 152"-208" 269"-329" 375"-433"

Intra-L (C23-C104) 23"-88" 134"-194"
 23""-88"" 134""-194""

Inter-H-L (h 5-CL 126) 228-214' 228"-214"

Inter-H-H (h 11, h 14) 234-234" 237-237"

N-glycosylation sites / Sites de N-glycosylation / Posiciones de N-glicosilación
 H CH2 N84.4:
 305, 305"

bococizumab #

bococizumab

immunoglobulin G2-kappa, anti-[*Homo sapiens* PCSK9 (proprotein convertase subtilisin/kexin type 9, neural apoptosis-regulated convertase 1, NARC1, NARC-1, proprotein convertase 9, PC9)], humanized monoclonal antibody;
 gamma2 heavy chain (1-444) [humanized VH (*Homo sapiens* IGHV1-46*01 (90.80%) -(IGHD)-IGHJ1*01 L123>T (113)) [8.8.11] (1-118) -*Homo sapiens* IGHG2*01 (CH1 (119-216), hinge (217-228), CH2 A115>S (327), P116>S (328) (229-337), CH3 (338-442), CHS (443-444)) (119-444)], (132-214')-disulfide with kappa light chain (1'-214') [humanized V-KAPPA (*Homo sapiens* IGKV1-13*02 (91.00%) -IGKJ2*01) [6.3.9] (1'-107') -*Homo sapiens* IGKC*01 (108'-214')]; dimer (220-220":221-221":224-224":227-227")-tetrakisdisulfide

bococizumab

immunoglobuline G2-kappa, anti-[*Homo sapiens* PCSK9 (protéine convertase subtilisine/kexine type 9, convertase 1 régulée par l'apoptose neuronale, NARC1, NARC-1, protoprotéine convertase 9, PC9)], anticorps monoclonal humanisé; chaîne lourde gamma2 (1-444) [VH humanisé (*Homo sapiens* IGHV1-46*01 (90.80%) -(IGHD)-IGHJ1*01 L123>T (113)) [8.8.11] (1-118) -*Homo sapiens* IGHG2*01 (CH1 (119-216), charnière (217-228), CH2 A115>S (327), P116>S (328) (229-337), CH3 (338-442), CHS (443-444)) (119-444)], (132-214')-disulfure avec la chaîne légère kappa (1'-214') [V-KAPPA humanisé (*Homo sapiens* IGKV1-13*02 (91.00%) -IGKJ2*01) [6.3.9] (1'-107') -*Homo sapiens* IGKC*01 (108'-214')]; dimère (220-220":221-221":224-224":227-227")-tétrakisdisulfure

bococizumab

immunoglobulina G2-kappa, anti-[*Homo sapiens* PCSK9 (proteína convertasa subtilisina/kexina tipo 9, convertasa 1 regulada por la apoptosis neuronal, NARC1, NARC-1, proproteína convertasa 9, PC9)], anticuerpo monoclonal humanizado; cadena pesada gamma2 (1-444) [VH humanizada (*Homo sapiens* IGHV1-46*01 (90.80%)-(IGHD)-IGHJ1*01 L123>T (113)) [8.8.11] (1-118)-*Homo sapiens* IGH2*01 (CH1 (119-216), bisagra (217-228), CH2 A115>S (327), P116>S (328) (229-337), CH3 (338-442), CHS (443-444)) (119-444)], (132-214')-disulfuro con la cadena ligera kappa (1'-214') [V-KAPPA humanizada (*Homo sapiens* IGKV1-13*02 (91.00%)-IGKJ2*01) [6.3.9] (1'-107')-*Homo sapiens* IGKC*01 (108'-214')]; dímero (220-220":221-221":224-224":227-227")-tetraakisdisulfuro

Heavy chain / Chaîne lourde / Cadena pesada
 QVOLVQSGAE VKKPGASVKV SCKASGYTFT SYYMHWVRQA PGQGLEWMGE 50
 ISPFGGRTNY NEKFKSRVTM TRDTSTSTVY MELOSSLRSED TAVYYCARER 100
 PLYASDLWQG GTTVTSSAS TKGPSVFPLA PCCSRSTSEST AALGCLVKDY 150
 FPEPVTVSWN SGALTSGVHT FPAVLQSSGL YSLSSVVTVP SSNFGTQTYT 200
 CNVDHKPSNT KVDKTVERKC CVECPCPAP PVAGPSVFLF FPKPKDTLMI 250
 SRTPEVTCVV VDVSHEDPEV QPNWYVDGVE VHNAKTKPRE EQFNSTFRVV 300
 SVLTVVHQDW LNGKEYKCKV SNKGLPSSIE KTISKTQGP REPQVYTLPP 350
 SREEMTKNQV SLTCLVKGFY PSDIAVEWES NGQPENNYKT TPPMLDSDGS 400
 FFLYSKLTVD KSRWQQGNVF SCSCVMEHALH NYHTQKSLSL SPGK 444

Light chain / Chaîne légère / Cadena ligera
 DIQMTQSPSS LSASVGDRVT ITCRASQGIS SALAWYQQKP GKAPKLIIYS 50
 ASYRYTGVES RFSGSGSGTD FFTFTISSLQP EDIATYYCQQ RYSILWRTFQG 100
 GTKLEIKRTV AAPSVFIFPP SDEQLKSGTA SVVCLLNNEY PREAKVQWKV 150
 DNALQSGNSQ ESVTEQDSKD STYSLSSTLT LSKADYEKHK VYACEVTHQG 200
 LSSPVTKSFN RGEC 214

Disulfide bridges location / Position des ponts disulfure / Posiciones de los puentes disulfuro
 Intra-H (C23-C104) 22-96 145-201 258-318 364-422
 22"-96" 145"-201" 258"-318" 364"-422"
 Intra-L (C23-C104) 23"-88" 134"-194"
 23"-88" 134"-194"
 Inter-H-L (CH1 10-CL 126) 132-214' 132"-214"
 Inter-H-H (h 4, h 5, h 11, h 14) 220-220" 221-221" 224-224" 227-227"

N-glycosylation sites / Sites de N-glycosylation / Posiciones de N-glicosilación
 H CH2 N84.4:
 294, 294"

brincidofovirus**brincidofovirus**

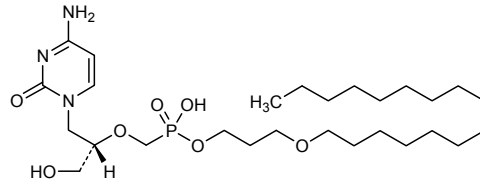
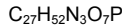
3-(hexadecyloxy)propyl hydrogen (((1*S*)-1-[(4-amino-2-oxopyrimidin-1(2*H*)-yl)methyl]-2-hydroxyethoxy)methyl)phosphonate

brincidofovirus

(((1*S*)-1-[(4-amino-2-oxopyrimidin-1(2*H*)-yl)méthyl]-2-hydroxyethoxy)méthyl)hydrogénophosphonate de 3-(hexadécyoxy)propyle

brincidofovirus

(((1*S*)-1-[(4-amino-2-oxopirimidin-1(2*H*)-il)metil]-2-hidroxietoxi}metil)hidrógenofosfonato de 3-(hexadeciloxy)propilo



canoctakinum #

canoctakin

recombinant DNA derived, human interleukin 8 (CXCL8) mutein,
produced in *Escherichia coli*:
[44,48,97,98-tetra-L-lysine]human interleukin 8 precursor-(34-99)-peptide

canoctakine

mutéine de l'interleukine 8 humaine (CXCL8), produite dans
Escherichia coli à partir d'ADN recombinant:
[44,48,97,98-tétralysine]précurseur de l'interleukine 8 humaine-(34-99)-peptide

canoctakina

muteína de la interleukina 8 humana (CXCL8), producida en
Escherichia coli a partir de ADN recombinante:
[44,48,97,98-tetra-L-lisina]precursor de la interleukina 8 humana-(34-99)-péptido



CQCICKTY SKPKHPKKIK 50
ELRVIESGPH CANTEIIVKL SDGRELCILDE KENWVQRVVE KFLKRAKKS 99
Disulfide bridges location / Position des ponts disulfure / Posiciones de los puentes disulfuro
34-61 36-77

censavudinum

censavudine

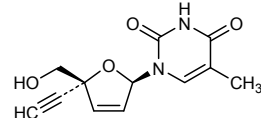
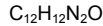
1-[(2*R*,5*R*)-5-ethynyl-5-(hydroxymethyl)-2,5-dihydrofuran-2-yl]-
5-methylpyrimidine-2,4(1*H*,3*H*)-dione

censavudine

1-[(2*R*,5*R*)-5-éthynyl-5-(hydroxyméthyl)-2,5-dihydrofuran-2-yl]-
5-méthylpyrimidine-2,4(1*H*,3*H*)-dione

censavudina

1-[(2*R*,5*R*)-5-ethinil-5-(hidroximetil)-2,5-dihidrofuran-2-il]-
5-metilpirimidina-2,4(1*H*,3*H*)-diona

**cimagerminum alfa #**

cimagermin alfa

recombinant DNA derived glial growth factor 2(GGF2), produced in
Chinese hamster ovary (CHO) cells (glycoform alfa):
[253-L-glutamine(R>Q variant 009307)]human pro-neuregulin-1
membrane-bound isoform 9 precursor-(51-422)-peptide

cimagermine alfa

facteur de croissance 2 glial, produit par des cellules ovaries de
hamster chinois (glycoforme alfa):
[253-L-glutamine(R>Q variant 009307)]précurseur de l'isoforme 9 de
la pro-neuréguline-1, se liant à la membrane, humain-(51-422)-
peptide obtenu par culture de cellules ovaries d'hamster chinois
(CHO), glycoforme alfa

cimagermina alfa

factor de crecimiento glial 2, producido por células ováricas de
hamster chino (glicoforma alfa):
[253-L-glutamina(R>Q variante 009307)]precursor de la isoforma 9
de la pro-neuregulina-1, que se une a la membrana, humano-(51-
422)-péptido obtenido por cultivo de células ováricas de hamster
chino (CHO), glicoforma alfa

Sequence / Séquence /Ssecuencia
 GNEAAPAGAS VCYSSPPSVG SVQELAQRAA VVIEGKVHPO RRQQGALDRK 50
 AAAAAGEAGA WGGDREPPAA GPRALGPPAE EPLLAANGTV PSWPTAPVPS 100
 AGEPEEEAPY LVKVHQVWAV KAGGLKKDSL LTVRLGTTWGH PAFPSCGRLK 150
 EDSPYIFFME PDANSTSRAP AAFRASFPPPL ETGRNLKKEV SRVLCKRCAL 200
 PPQLKEMKSQ ESAÄGSKLVL RCETSEYYSS LRFKWFKNGN ELNRKNKPON 250
 IKIQKKPGKS ELRINKASIA DSGEYMCKVI SKLGNDSASA NITIVESNAT 300
 STSTTGTSHL VKCAEKEKTF CVNGGECFMV KDLSNPSRYL CKCPNEFTGD 350
 RCQNYVMASF YSTSTFPLSL PE 372

Disulfide bridges location / Position des ponts disulfure / Posiciones de los puentes disulfuro
 12-146 195-198 222-277 313-327 321-341 343-352

Glycosylation sites (N) / Sites de glycosylation (N) / Posiciones de glicosilación (N)
 Asn-87 Asn-164 Asn-285 Asn-291 Asn-298

cipargaminum
 cipargamin

(1'R,3'S)-5,7'-dichloro-6'-fluoro-3'-methyl-2',3',4',9'-tetrahydrospiro[indole-3,1'-pyrido[3,4-b]indol]-2(1H)-one

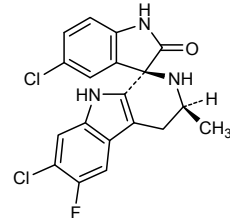
cipargamine

(1'R,3'S)-5,7'-dichloro-6'-fluoro-3'-méthyl-2',3',4',9'-tétrahydrospiro[indole-3,1'-pyrido[3,4-b]indol]-2(1H)-one

cipargamina

(1'R,3'S)-5,7'-dicloro-6'-fluoro-3'-metil-2',3',4',9'-tetrahidrospiro[indol-3,1'-pirido[3,4-b]indol]-2(1H)-ona

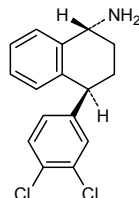
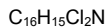
C₁₉H₁₄Cl₂FN₃O



dapirolizumab pegol #
 dapirolizumab pegol

immunoglobulin Fab' G1-kappa pegylated, anti-[*Homo sapiens* CD40LG (CD40 ligand, CD40L, tumor necrosis factor ligand superfamily member 5, TNFSF5, tumor necrosis factor related activation protein, TRAP, CD154)], pegylated humanized monoclonal antibody; gamma1 heavy chain fragment VH-(CH1-hinge) (1-229) [humanized VH (*Homo sapiens*IGHV3-74*01 (76.50%) -(IGHD)-IGHJ1*01 [8.7.12] (1-118) -*Homo sapiens*IGHG1*01 (CH1 (119-216), hinge 1-11 (217-227)) (119-227) -dialanyl (228-229)], (221-214')-disulfide with kappa light chain (1'-214') [humanized V-KAPPA (*Homo sapiens*IGKV1-NL1*01 (83.20%) -IGKJ1*01) [6.3.9] (1'-107') -*Homo sapiens*IGKC*01 (108'-214')]; conjugated via a linker of the maleimide group (thioether bond with cysteinyl h 11 (227)) to two linear chains of methoxy polyethylene glycol 20 (mPEG20).

dapirolizumab pégal	immunoglobuline Fab' G1-kappa pégylé, anti-[<i>Homo sapiens</i> CD40LG (CD40 ligand, CD40L, membre 5 de la superfamille des ligands facteurs de nécrose tumorale, TNFSF5, protéine d'activation apparentée au facteur de nécrose tumorale, TRAP, CD154)], anticorps monoclonal humanisé pégylé; fragment VH-(CH1-charnière) de la chaîne lourde gamma1 (1-229) [VH humanisé (<i>Homo sapiens</i> IGHV3-74*01 (76.50%) -(IGHD)-IGHJ1*01) [8.7.12] (1-118) - <i>Homo sapiens</i> IGHG1*01 (CH1 (119-216), charnière 1-11 (217-227)) (119-227) -dialanyl (228-229)], (221-214')-disulfure avec la chaîne légère kappa (1'-214') [V-KAPPA humanisé (<i>Homo sapiens</i> IGKV1-NL1*01 (83.20%) -IGKJ1*01) [6.3.9] (1'-107') - <i>Homo sapiens</i> IGKC*01 (108'-214')]; conjugué via un linker du groupe maléimide (liaison thioéther avec cystéinyl h 11 (227)) à deux chaînes linéaires de méthoxy polyéthylène glycol 20 (mPEG20).
dapirolizumab pegol	inmunoglobulina Fab' G1-kappa pegilada, anti-[<i>Homo sapiens</i> CD40LG (ligando CD40, CD40L, miembro 5 de la superfamilia de ligandos factores de necrosis tumoral, TNFSF5, proteína de activación relacionada con el factor de necrosis tumoral, TRAP, CD154)], anticuerpo monoclonal humanizado pegilado; fragmento VH-(CH1-bisagra) de la cadena pesada gamma1 (1-229) [VH humanizado (<i>Homo sapiens</i> IGHV3-74*01 (76.50%) -(IGHD)-IGHJ1*01) [8.7.12] (1-118) - <i>Homo sapiens</i> IGHG1*01 (CH1 (119-216),bisagra 1-11 (217-227)) (119-227) -dialanil (228-229)], (221-214')-disulfuro con la cadena ligera kappa (1'-214') [V-KAPPA humanizado (<i>Homo sapiens</i> IGKV1-NL1*01 (83.20%) -IGKJ1*01) [6.3.9] (1'-107') - <i>Homo sapiens</i> IGKC*01 (108'-214')]; conjugado mediante un conector del grupo maleimida (enlace tioéster con cisteinil h 11 (227)) a dos cadenas lineales de metoxi polietilen glicol 20 (mPEG20)
	Heavy chain / Chaîne lourde / Cadena pesada EVQLVESGG LVQPGGSRLR SCAVSGFSSST NYHVHWVRQA PGKGLEWMGV 50 IWGGDTSYN SVLKSREFTIS RDTSKNTVYL QMNSLRRAEDT AVYYCARQLT 100 HYVLAWGQ GTLTVSSAS TKGPSVFLA PSSKSTSGGT AALGCLVKDY 150 FPEPVTWSW SGALTSGVHT FPAAVLQSSGL YSLSSVVTVP SSSLGTQTYI 200 CNVNHKPSNT KVDDKVEPKS CDKTHTCAA 229
	Light chain / Chaîne légère / Cadena ligera DIQMTQSPSS LSASVGRVT ITCRASEDLY YNLAWYQRKP GKAPKLLIYD 50 TYRLADGVPS RFSGSGSGTD YTTLTISSLPQ EDFASYYCQQ YYKFPTTFQG 100 GTKVEIKRTV AAPSVFFPPP SDEQLKSGTA SVVCLLNNFY PREAKVQWKV 150 DNALQSGNSQ ESVTEQDSKD STYSLSSLT LSKADYEKHK VYACEVTHQG 200 LSSPVTKFSN RGEc 214
	Disulfide bridges location / Position des ponts disulfure / Posiciones de los puentes disulfuro Intra-H (C23-C104) 22-95 145-201 Intra-L (C23-C104) 23'-88' 134'-194' Inter-H-L (h 5-CL 126) 221-214'
	N-glycosylation sites / Sites de N-glycosylation / Posiciones de N-glicosilación None
	Pegylation site / Site de pégylation / Posición de pegilación C 227
dasotralinum	
dasotraline	(1 <i>R</i> ,4 <i>S</i>)-4-(3,4-dichlorophenyl)-1,2,3,4-tetrahydronaphthalen-1-amine
dasotraline	(1 <i>R</i> ,4 <i>S</i>)-4-(3,4-dichlorophényle)-1,2,3,4-tétrahydronaphthalén-1-amine
dasotralina	(1 <i>R</i> ,4 <i>S</i>)-4-(3,4-diclorofenil)-1,2,3,4-tetrahidronaftalen-1-amina

**decernotinibum**

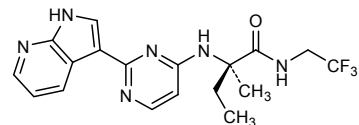
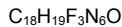
decernotinib

(2*R*)-2-methyl-2-{{[2-(1*H*-pyrrolo[2,3-*b*]pyridin-3-yl)pyrimidin-4-yl]amino}-*N*-(2,2,2-trifluoroethyl)butanamide

décernotinib

(2*R*)-2-méthyl-2-{{[2-(1*H*-pyrrolo[2,3-*b*]pyridin-3-yl)pyrimidin-4-yl]amino}-*N*-(2,2,2-trifluoroéthyl)butanamide

decernotinib

(2*R*)-2-metil-2-{{[2-(1*H*-pirrolo[2,3-*b*]piridin-3-il)pirimidin-4-il]amino}-*N*-(2,2,2-trifluoroetil)butanamida**deldeprevirum**

deldeprevir

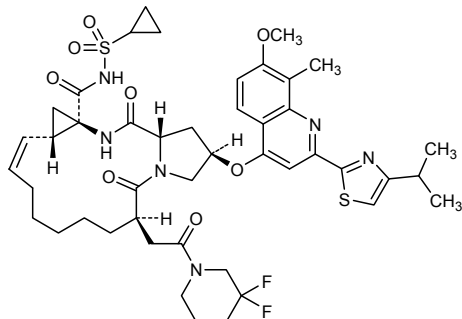
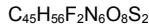
(2*R,6R,12Z,13aS,14aR,16aS*)-*N*-(cyclopropanesulfonyl)-6-[2-(3,3-difluoropiperidin-1-yl)-2-oxoethyl]-2-((7-methoxy-8-methyl-2-[4-(propan-2-yl)-1,3-thiazol-2-yl]quinolin-4-yl)oxy)-5,16-dioxo-1,2,3,6,7,8,9,10,11,13a,14,15,16,16a-tetradecahydrocyclopropa[e]pyrrolo[1,2-a][1,4]diazacyclopentadecine-14a(5*H*)-carboxamide

deldéprévir

(2*R,6R,12Z,13aS,14aR,16aS*)-*N*-(cyclopropanesulfonyl)-6-[2-(3,3-difluoropiperidin-1-yl)-2-oxoéthyl]-2-((7-méthoxy-8-méthyl-2-[4-(propan-2-yl)-1,3-thiazol-2-yl]quinolén-4-yl)oxy)-5,16-dioxo-1,2,3,6,7,8,9,10,11,13a,14,15,16,16a-tétradécahydrocyclopropa[e]pyrrolo[1,2-a][1,4]diazacyclopentadécine-14a(5*H*)-carboxamide

deldeprevir

(2*R,6R,12Z,13aS,14aR,16aS*)-*N*-(ciclopropanosulfonil)-6-[2-(3,3-difluoropiperidin-1-il)-2-oxoetil]-2-({8-metil-7-metoxi-2-[4-(propan-2-il)-1,3-tiazol-2-il]quinolin-4-il}oxi)-5,16-dioxo-1,2,3,6,7,8,9,10,11,13a,14,15,16,16a-tetradecahidrociclopropa[e]pirrolo[1,2-a][1,4]diazaciclopentadecina-14a(5*H*)-carboxamida



duligotuzumab #
duligotuzumab

immunoglobulin G1-kappa, anti-[*Homo sapiens* ERBB3 (receptor tyrosine-protein kinase erbB-3, HER3)], humanized monoclonal antibody; gamma1 heavy chain (1-451) [humanized VH (*Homo sapiens* IGHV3-74*01 (82.70%) -(IGHD)-IGHJ4*01) [8.8.14] (1-121) - IGHG1*03 CH1 R120>K (218) (122-451)], (224-214')-disulfide with kappa light chain (1'-214') [humanized V-KAPPA (*Homo sapiens* IGKV1-39*01 (87.40%) -IGKJ2*01 L124>V (104)) [6.3.9] (1'-107') - IGKC*01 (108'-214')]; dimer (230-230":233-233")-bisdisulfide

duligotuzumab

immunoglobuline G1-kappa, anti-[*Homo sapiens* ERBB3 (récepteur tyrosine-protéine kinase erbB3, HER3)], anticorps monoclonal humanisé; chaîne lourde gamma1 (1-451) [VH humanisé (*Homo sapiens* IGHV3-74*01 (82.70%) -(IGHD)-IGHJ4*01) [8.8.14] (1-121) - IGHG1*03 CH1 R120>K (218) (122-451)], (224-214')-disulfure avec la chaîne légère kappa (1'-214') [V-KAPPA humanisé (*Homo sapiens* IGKV1-39*01 (87.40%) -IGKJ2*01 L124>V (104)) [6.3.9] (1'-107') - IGKC*01 (108'-214')]; dimère (230-230":233-233")-bisdisulfure

duligotuzumab

inmunoglobulina G1-kappa, anti-[*Homo sapiens* ERBB3 (receptor tirosina-proteína kinasa erbB3, HER3)], anticuerpo monoclonal humanizado; cadena pesada gamma1 (1-451) [VH humanizado (*Homo sapiens* IGHV3-74*01 (82.70%) -(IGHD)-IGHJ4*01) [8.8.14] (1-121) - IGHG1*03 CH1 R120>K (218) (122-451)], (224-214')-disulfuro con la cadena ligera kappa (1'-214') [V-KAPPA humanizado (*Homo sapiens* IGKV1-39*01 (87.40%) -IGKJ2*01 L124>V (104)) [6.3.9] (1'-107') - IGKC*01 (108'-214')]; dímero (230-230":233-233")-bisdisulfuro

Heavy chain / Chaîne lourde / Cadena pesada
EVQLVESGGG LVQPGGSLRL SCAASGFTLS GDWIHWVRQA PGKGLEWVGE 50
ISAAGGYTDY ADSVKGRFTI SADTSKNTAY LQMNSLRAED TAVYYCARES 100
RVSFEAAMDY WGQGTIVTWS SASTKGPSVF PLAPSSKSTS GGTAAALGCLV 150
KDVFPEEVTW SWNSGALTSG VHTFFAVLQS SGLYSLSSV TVPSSLGTQ 200
TYICNVNHKP SNTKVDKVE PKSCDKTHTC PPCPAPELLG GPSVFLFPK 250
PKDTLMISRT PEVTCVVVDV SHEDPEVKFN WYVGVEVHN AKTKPREEQY 300
NSTYRVVSVL TVLHQDWLNG KEYKCKVSNK ALPAPIEKTI SKAKGQFREP 350
QVTLPLPSRE EMTKQNQVSLT CLVKGFYPSD IAVEWESNQG PENNYKTTP 400
VLDSDGSFFL YSKLTVDKSR WQQGNVFSCS VMHEALHNHY TQKSLSLSPG 450
K 451

Light chain / Chaîne légère / Cadena ligera
DIQMTQPSS LSASVGDRVT ITCRASQNIA TDVAWYQQKP GKAPKLLIYS 50
ASFLYSGVPS RFSGSGSGTD FTLTISLQP EDFATYYCQQ SEPEPYTFQQ 100
GTVKEIKRTV AAFSVFIFPP SDEQLKSGTA SVVCLNNFY PREAKVQWKV 150
DNALQSGNSQ ESVTEQDSKD STYSLSSTLT LSKADYEKHK VYACEVTHQG 200
LSSPVTKSFN RGE 214

Disulfide bridges location / Position des ponts disulfure / Posiciones de los puentes disulfuro
Intra-H 22-96 148-204 265-325 371-429
22"-96" 148"-204" 265"-325" 371"-429"
Intra-L 23"-88" 134"-194"
23"-88" 134"-194"
Inter-H-L 224-214" 224"-214"
Inter-H-H 230-230" 233-233"

N-glycosylation sites / Sites de N-glycosylation / Posiciones de N-glicosilación
H CH₂ N84.4:
301, 301"

duvelisibum
duvelisib

duvélisib

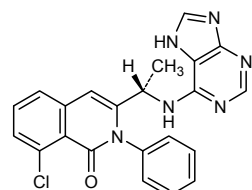
duvelisib

8-chloro-2-phenyl-3-[(1*S*)-1-(7*H*-purin-6-ylamino)ethyl]isoquinolin-1(2*H*)-one

8-chloro-2-phényle-3-[(1*S*)-1-(7*H*-purin-6-ylamino)éthyl]isoquinoléin-1(2*H*)-one

8-cloro-2-fenil-3-[(1*S*)-1-(7*H*-purin-6-ilamino)etil]isoquinolein-1(2*H*)-ona

C₂₂H₁₇ClN₆O



eftrenonacogum alfa #
eftrenonacog alfa

recombinant DNA derived human blood coagulation factor IX fusion protein with one Fc fragment of the human immunoglobulin G1 Fc fragment dimer, produced in HEK293H cells (glycoform alfa): human blood coagulation factor IX (EC 3.4.21.22, Christmas factor, plasma thromboplastin component) variant 148-T, fusion protein with human immunoglobulin G1 Fc fragment (IGHG1*01 H-CH2-CH3)-(6-231)-peptide (421-6':424-9')-bisdisulfide with human immunoglobulin G1 Fc fragment (IGHG1*01 H-CH2-CH3)-(6-231)-peptide

efrénonacog alfa

protéine de fusion entre le facteur IX de coagulation sanguine humain et l'un des fragments du dimère du fragment Fc de l'immunoglobuline G1 humaine, produite par des cellules HEK293H à partir d'ADN recombinant (glycoforme alfa) : variant 148-T du facteur IX de coagulation humain (EC 3.4.21.22, facteur Christmas, thromboplastine composant du plasma) protéine de fusion avec le fragment Fc de l'immunoglobuline G1 humaine (IGHG1*01 H-CH2-CH3)-(6-231)-peptide (421-6':424-9')-bisdisulfure avec le fragment Fc de l'immunoglobuline G1 humaine (IGHG1*01 H-CH2-CH3)-(6-231)-peptide

eftrenonacog alfa

proteína de fusión entre el factor IX de coagulación humano y uno de los fragmentos del dímero del fragmento Fc de la inmunoglobulina G1 humana, producida por células HEK293H a partir de ADN recombinante (glicoforma alfa) : variante 148-T del factor IX de coagulación humana (EC 3.4.21.22, factor Christmas, tromboplastina componente del plasma) proteína de fusión con el fragmento Fc de la inmunoglobulina G1 humana (IGHG1*01 H-CH2-CH3)-(6-231)-péptido (421-6':424-9')-bisdisulfuro con el fragmento Fc de la inmunoglobulina G1 humana (IGHG1*01 H-CH2-CH3)-(6-231)-péptido

Fusion protein/ Protéine de fusion / Proteína de fusión
 YNSGKLEEFV QGNLERECME EKCSFEEARE VFENTERTTE FWKQYVGDQ 50
 CESNPCLNGG SCKDIDNSYE CWCPFGFEKG NCEDVTCNI KNGRCQFCK 100
 NSADNKVUCS CTEGYRLÄEN QRKSCPEAVPF PGRVSVSQQT SKLTRAETVF 150
 PVDYVNSTE AEITLDNTIQ STQSFDNFTV VVGEGDAKPG QFPWQVVLNG 200
 KVDAFCGGSI VNEKWIVTAA HCVEVTGVKIT VVAGEHNIEE TEHTEQKRNV 250
 IRIIPHNNY AAINKYNHDI ALLELDEPLV LNSYVTPIC1 ADKEYTNIFL 300
 KFGSGYVSGW GRVFKHGRSA LVLCYLRVPL VDRATCLRST KFTIYNNMFC 350
 AGFHEGGRDS CQGDGGPHV TEVEGTSFLT GILSWGECCA MKGKYGIYTK 400
 USRYUNNIKE KTKLTDKHTK CPCECPAPELL GGGSVFLFPP KPKDTLMISR 450
 TPEVTCVVDV VSHEDEPEVK KALPAPIEK IASKAQPRE PQVVTLPSPR 500
 LTLHQDWLN GKEYKCKVSL KALPAPIEK IASKAQPRE PQVVTLPSPR 550
 DELTKRNQVSL TCLVKGFXYP5 DIAVEMESNG QPENNYYKTP PVLDSDGSFF 600
 LYSKLTVDKS RWQQGNVFS SVMHEALHNH YTQKSLSLSP G 641

Immunoglobulin Fc fragment / Fragment Fc de l'immunoglobuline / Fragmento Fc de la inmunoglobulina
 DKTHTCPCCP APELLGGPSV FLPPPKPKDT LMISRTPEV7 CVVVDVSHED 50'
 PEVKENWVVD CUEVHNNAKTK PRBEOQNSTV RVVSUVTVLH QDWLNCKEXK 100'
 CKVSNKALPA PPIEKTSKAK QOPREPQVYT LPSPRSDELTK NQVSLTCLVK 150'
 GFYPSDIAVE WESNGQOPENA YKTTTFVPLDS DGSSFFLYSKL TVDKSRWQGG 200'
 NVFSCSMVHE ALHNHYTQKS LSLSPG 226'

Disulfide bridges location / Position des ponts disulfure / Posiciones de los puentes disulfuro
 6'-421 9-424 18-23 41-101 51-62 56-71 73-82 88-99 95-109
 111-124 132-289 147-205 206-222 336-350 361-389 456-516 562-620

Modified residues / Résidus modifiés / Restos modificados



Glycosylation sites (N, S, T) / Sites de glycosylation (N, S, T) / Posiciones de glicosilación (N, S, T)

Ser-53*, Ser-61*, Asn-77*, Asn-157, Thr-159*, Asn-167, Thr-169*, Asn-492

* partially modified / modifiés en partie / parcialmente modificados

elbasvirum
elbasvir

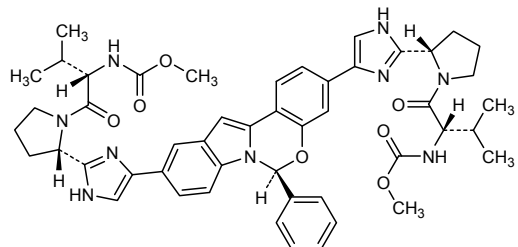
dimethyl *N,N'*-{[(6*S*)-6-phenyl-6*H*-indolo[1,2-*c*][1,3]benzoxazine-3,10-diy]bis[1*H*-imidazole-5,2-diy]-2*S*-pyrrolidine-2,1-diy}[[(2*S*)-3-methyl-1-oxobutane-1,2-diy]]biscarbamate

elbasvir

N,N'-{[(6*S*)-6-phényl-6*H*-indolo[1,2-*c*][1,3]benzoxazine-3,10-diy]bis[1*H*-imidazole-5,2-diy]-2*S*-pyrrolidine-2,1-diy}[[(2*S*)-3-méthyl-1-oxobutane-1,2-diy]]biscarbamate de diméthyle

elbasvir

N,N'-{[(6*S*)-6-fernil-6*H*-indolo[1,2-*c*][1,3]benzoxazina-3,10-diiil]bis{1*H*-imidazole-5,2-diiil-(2*S*)-pirrolidina-2,1-diyil[(2*S*)-3-metil-1-oxobutano-1,2-diiil]})biscarbamato de dimetilo
C₄₉H₅₅N₉O₇

**entasobulinum**

entasobulin

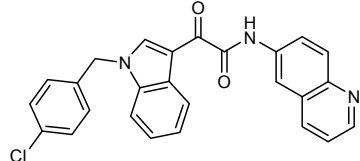
2-{1-[(4-chlorophenyl)methyl]-1*H*-indol-3-yl}-2-oxo-*N*-(quinolin-6-yl)acetamide

entasobuline

2-{1-[(4-chlorophényle)méthyl]-1*H*-indol-3-yl}-2-oxo-*N*-(quinoléin-6-yl)acétamide

entasobulina

2-{1-[(4-clorofenil)metil]-1*H*-indol-3-il}-2-oxo-*N*-(quinolein-6-il)acetamida

C₂₆H₁₈CIN₃O₂**entospletinibum**

entospletinib

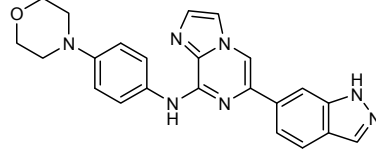
6-(1*H*-indazol-6-yl)-*N*-[4-(morpholin-4-yl)phenyl]imidazo[1,2-a]pyrazin-8-amine

entosplétinib

6-(1*H*-indazol-6-yl)-*N*-[4-(morpholin-4-yl)phényl]imidazo[1,2-a]pyrazin-8-amine

entospletinib

6-(1*H*-indazol-6-il)-*N*-[4-(morpholin-4-il)fenil]imidazo[1,2-a]pirazin-8-amina

C₂₃H₂₁N₇O**etiquanfacinum**

etiquanfacine

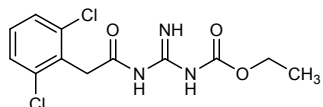
ethyl *N*-{[2-(2,6-dichlorophenyl)acetyl]carbamimidoyl}carbamate

étiqualfacine

N-{[2-(2,6-dichlorophényle)acétyl]carbamimidoyl}carbamate d'éthyle

etiquanfacina

N-{[2-(2,6-diclorofenil)acetil]carbamimidoi}carbamato de etilo



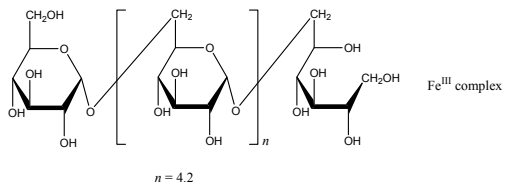
ferricum derisomaltosum
ferric derisomaltose

dérismaltose ferrique
derisomaltosa férrica

(1→6)-α-D-glucopyranan-(1→6)-D-glucitol iron(III) complex

complexe de fer(III) et de (1→6)-α-D-glucopyranan-(1→6)-D-glucitol
complejo hierro(III) (1→6)-α-D-glucopiranano-(1→6)-D-glucitol

$(\text{C}_6\text{H}_{11}\text{O}_5)(\text{C}_6\text{H}_{10}\text{O}_5)_n(\text{C}_6\text{H}_{13}\text{O}_5)\text{Fe}^{\text{III}}$ complex ($n = 4.2$)



fimaporfinum
fimaporfín

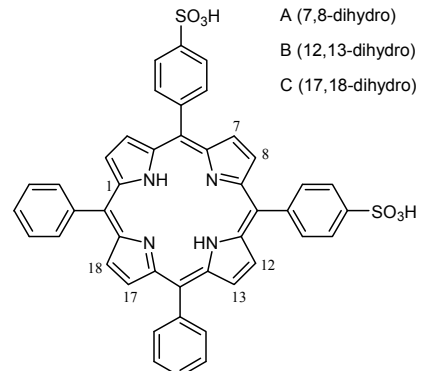
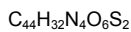
4,4'-(15,20-diphenyl-7,8(or 12,13 or 17,18)-dihydro-21*H*,23*H*-porphine-5,10-diy)bisbenzenesulfonic acid, mixture of three isomers A, B and C (25%,50%,25%)

fimaporfine

acide 4,4'-(15,20-diphényl-7,8(ou 12,13 ou 17,18)-dihydro-21*H*,23*H*-porphine-5,10-diy)bisbenzènesulfonique, mélange de trois isomères A, B et C (25%,50%,25%)

fimaporfina

ácido 4,4'-(15,20-difenil-7,8(o 12,13 o 17,18)-dihidro-21*H*,23*H*-porfirina-5,10-dii)bisbencenosulfónico, mezcla de tres isómeros A, B y C (50%,25%,25%)



fletikumabum #
fletikumab

immunoglobulin G4-kappa, anti-[*Homo sapiens* IL20 (interleukin 20, IL-20)], human monoclonal antibody; gamma4 heavy chain (1-454) [*Homo sapiens* VH (IGHV1-3*01 (88.80%) -(IGHD)-IGHJ6*01) [8.8.20] (1-127) -IGHG4*01 (CH1 (128-225), hinge S10>P (235) (226-237), CH2 (238-347), CH3 (348-452), CHS (453-454)) (128-454)], (141-214')-disulfide with kappa light chain (1'-214') [*Homo sapiens* (V-KAPPA (IGKV1-13*02 (100.00%) -IGKJ4*01) [6.3.9] (1'-107') -IGKC*01 (108'-214')]; dimer (233-233":236-236")-bisdisulfide

flétikumab

immunoglobuline G4-kappa, anti-[*Homo sapiens* IL20 (interleukine 20, IL-20)], anticorps monoclonal humain; chaîne lourde gamma4 (1-454) [*Homo sapiens* VH (IGHV1-3*01 (88.80%) -(IGHD)-IGHJ6*01) [8.8.20] (1-127) -IGHG4*01 (CH1 (128-225), charnière S10>P (235) (226-237), CH2 (238-347), CH3 (348-452), CHS (453-454)) (128-454)], (141-214')-disulfure avec la chaîne légère kappa (1'-214') [*Homo sapiens* (V-KAPPA (IGKV1-13*02 (100.00%) -IGKJ4*01) [6.3.9] (1'-107') -IGKC*01 (108'-214')]; dimère (233-233":236-236")-bisdisulfure

fletikumab

inmunoglobulina G4-kappa, anti-[*Homo sapiens* IL20 (interleukina 20, IL-20)], anticuerpo monoclonal humano; cadena pesada gamma4 (1-454) [*Homo sapiens* VH (IGHV1-3*01 (88.80%) -(IGHD)-IGHJ6*01) [8.8.20] (1-127) -IGHG4*01 (CH1 (128-225), bisagra S10>P (235) (226-237), CH2 (238-347), CH3 (348-452), CHS (453-454)) (128-454)], (141-214')-disulfuro con la cadena ligera kappa (1'-214') [*Homo sapiens* (V-KAPPA (IGKV1-13*02 (100.00%) -IGKJ4*01) [6.3.9] (1'-107') -IGKC*01 (108'-214')]; dímero (233-233":236-236")-bisdisulfuro

Heavy chain / Chaîne lourde / Cadena pesada
 QVQLVQSGAE VKRPGASVKV SCKASGYTFT NDIIHWVRQA PGQRLEWMGW 50
 INAGYGYNTQY SQNFQDRVSI TRDTSASTAY MELISLRSED TAVYYCAREP 100
 LWFGESSPHD YYGMDDVWQGQ TTIVTVSSAST KGPSPVFPLAP CSRSTSESTA 150
 ALGLCLVKDYF PEPVTWWSNG GALTSGVHFT PAVLQSSGLY SLSSVVTPS 200
 SSLGKTKTYTC NVDHKPSNTK VDKRVESVKY PPCPFCPAPE FLGGPSVFLF 250
 PPKPKDTLMN SRTEPEVTCVV VDVSDQEDPEV QFNWYVGVE VHNAKTKPRE 300
 EQFNSTYRVV SVLTVLHQDW LNGKEYKCKV SNKGKLPSSIE KTISKAKGQP 350
 REPQVYTLLPP SQEEMTKRNQV SLTCLVKGKFY PSDIAVEWES NGOPENNYKT 400
 TPPVLDSDGS FFLYSRSRLTVK KSRWQEGNVF SCSVMHEALH NHYTQKSLSL 450
 SLGK 454

Light chain / Chaîne légère / Cadena ligera
 AIQLTQSPSS LSASVGRVT ITCRASQGIS SALAWYQQKP GKAPKLLIYD 50
 ASSLESQVPS RFSGSGSGTD FTLTISLQLP EDFATYYCQQ FNSYPILTFGG 100
 GTKVEIKRTV AAPSVFIFPP SDEQLKSGTA SVVCLLNFFY PREAKVQWKV 150
 DNAIQSGNSQ ESVTEQDSKD STYSLSSSTLT LSKADYEKHK VYACEVTHQG 200
 LSSPVTKSFN RGE 214

Disulfide bridges location / Position des ponts disulfure / Posiciones de los puentes disulfuro
 Intra-H (C23-C104) 22-96 154-210 268-328 374-432
 22"-96" 154"-210" 268"-328" 374"-432"
 Intra-L (C23-C104) 23-88" 134"-194"
 23"-88" 134"-194"
 Inter-H-L (CH1 10-CL 126) 141-214" 141"-214"
 Inter-H-H (h 8, h 11) 233-233" 236-236"

N-glycosylation sites / Sites de N-glycosylation / Posiciones de N-glicosilación
 H CH2 N84.4:
 304, 304"

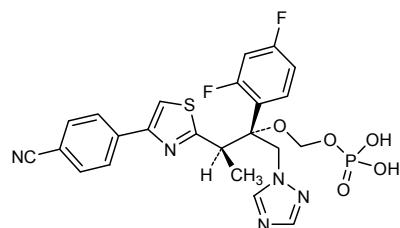
fosravuconazolum
fosravuconazole

{(1*R*,2*R*)-2-[4-(4-cyanophenyl)-1,3-thiazol-2-yl]-1-(2,4-difluorophenyl)-1-[(1*H*-1,2,4-triazol-1-yl)methyl]propoxy}methyl dihydrogen phosphate

fosravuconazole

dihydrogénophosphate de {(1*R*,2*R*)-2-[4-(4-cyanophényl)-1,3-thiazol-2-yl]-1-(2,4-difluorophényl)-1-[(1*H*-1,2,4-triazol-1-yl)méthyl]propoxy)méthyle

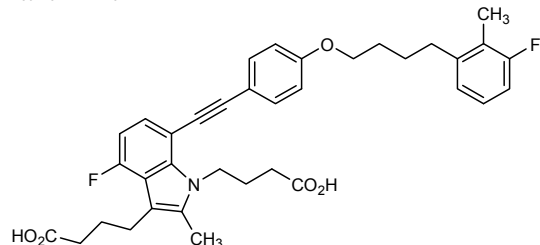
fosravuconazol

dihidrógenofosfato de {(1*R*,2*R*)-2-[4-(4-cianofenil)-1,3-tiazol-2-il]-1-(2,4-difluorofenil)-1-[(1*H*-1,2,4-triazol-1-il)metil]propoxi}metilo $C_{23}H_{20}F_2N_5O_5PS$ **gemilukastum**
gemilukast4,4'-[4-fluoro-7-(2-{4-[4-(3-fluoro-2-methylphenyl)butoxy}phenyl}ethynyl)-2-methyl-1*H*-indole-1,3-diy]dibutanoic acid

gémilukast

acide 4,4'-[4-fluoro-7-(2-{4-[4-(3-fluoro-2-méthylphényle)butoxy}phényle}éthyngly)-2-méthyl-1*H*-indole-1,3-diy]dibutanoïque

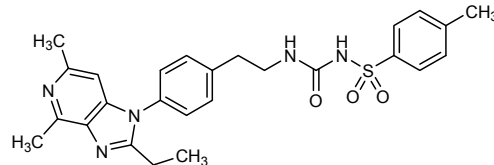
gemilukast

ácido 4,4'-[4-fluoro-7-(2-{4-[4-(3-fluoro-2-metilfenil)butoxi]fenil}etinil)-2-metil-1*H*-indol-1,3-diil]dibutanico $C_{36}H_{37}F_2NO_5$ **grapiprantum**
grapiprant*N*-(2-[4-(2-ethyl-4,6-dimethyl-1*H*-imidazo[4,5-c]pyridin-1-yl)phenyl]ethyl)-*N'*-(4-methylphenyl)sulfonylurea

grapiprant

N-(2-[4-(2-éthyl-4,6-diméthyl-1*H*-imidazo[4,5-c]pyridin-1-yl)phényle]éthyl)-*N'*-(4-méthylphényle)sulfonyluree

grapiprant

N-(2-[4-(2-étil-4,6-dimetil-1*H*-imidazo[4,5-c]piridin-1-il)fenil]etil)-*N'*-(4-metilfenil)sulfoniurea $C_{26}H_{29}N_5O_3S$ 

grazoprevirum
grazoprevir

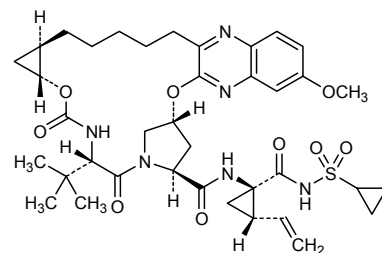
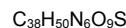
(1a*R*,5*S*,8*S*,10*R*,22*aR*)-5-*tert*-butyl-*N*-(1*R*,2*S*)-1-[(cyclopropylsulfonyl)carbamoyl]-2-ethenylcyclopropyl)-14-methoxy-3,6-dioxo-1,1*a*,3,4,5,6,9,10,18,19,20,21,22,22*a*-tetradecahydro-8*H*-7,10-methanocyclopropana[18,19][1,10,3,6]dioxadiazacyclononadecino[11,1-*b*]quinoxaline-8-carboxamide

grazoprévir

(1a*R*,5*S*,8*S*,10*R*,22*aR*)-5-*tert*-butyl-*N*-(1*R*,2*S*)-1-[(cyclopropylsulfonyl)carbamoyl]-2-éthénylecyclopropyl)-14-méthoxy-3,6-dioxo-1,1*a*,3,4,5,6,9,10,18,19,20,21,22,22*a*-tétradécahydro-8*H*-7,10-méthanocyclopropana[18,19][1,10,3,6]dioxadiazacyclononadécino[11,1-2-*b*]quinoxaline-8-carboxamide

grazoprevir

(1a*R*,5*S*,8*S*,10*R*,22*aR*)-5-*terc*-butyl-*N*-(1*R*,2*S*)-1-[(cyclopropylsulfonyl)carbamoyl]-2-etenilciclopropil)-14-metoxi-3,6-dioxo-1,1*a*,3,4,5,6,9,10,18,19,20,21,22,22*a*-tetradecahidro-8*H*-7,10-metanociclopropana[18,19][1,10,3,6]dioxadiazacliclononadecino[11,12-*b*]quinoxalina-8-carboxamida



icosabutas
icosabutate

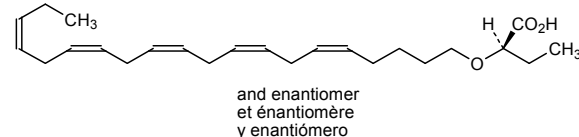
rac-2-[(5*Z*,8*Z*,11*Z*,14*Z*,17*Z*)icos-5,8,11,14,17-pentaen-1-*yloxy*]butanoic acid

icosabutate

acide *rac*-2-[(5*Z*,8*Z*,11*Z*,14*Z*,17*Z*)icos-5,8,11,14,17-pentaén-1-*yloxi*]butanoïque

icosabutato

ácido *rac*-2-[(5*Z*,8*Z*,11*Z*,14*Z*,17*Z*)icos-5,8,11,14,17-pentaen-1-*iloxy*]butanoico



idalopirdinum
idalopirdine

2-(6-fluoro-1*H*-indol-3-yl)-*N*-[3-(2,2,3,3-tetrafluoropropoxy)phenyl]methyl]ethanamine

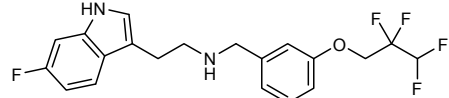
idalopirdine

2-(6-fluoro-1*H*-indol-3-yl)-*N*-[3-(2,2,3,3-tetrafluoropropoxy)phényl]methyl]éthanamine

idalopirdine

2-(6-fluoro-1*H*-indol-3-yl)-*N*-{[3-(2,2,3,3-tétrafluoropropoxy)phényl]méthyl}éthanamine

idalopirdina

2-(6-fluoro-1*H*-indol-3-il)-*N*-{[3-(2,2,3,3-tétrafluoropropoxi)fénil]metil}etanamina $C_{20}H_{19}F_5N_2O$ **lefamulinum**

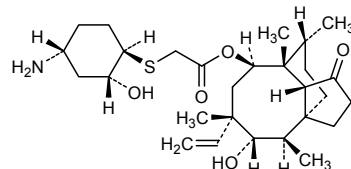
lefamulin

(3a*S*,4*R*,5*S*,6*S*,8*R*,9*R*,9a*R*,10*R*)-6-ethenyl-5-hydroxy-4,6,9,10-tetramethyl-1-oxodecahydro-3*a*,9-propanocyclopenta[8]annulen-8-yl {[1*R*,2*R*,4*R*)-4-amino-2-hydroxycyclohexyl}sulfanyl}acétate

léfamuline

{[(1*R*,2*R*,4*R*)-4-amino-2-hydroxycyclohexyl}sulfanyl}acétate de (3a*S*,4*R*,5*S*,6*S*,8*R*,9*R*,9a*R*,10*R*)-6-éthényl-5-hydroxy-4,6,9,10-tétraméthyl-1-oxodécahydro-3*a*,9-propano-3*aH*-cyclopenta[8]annulén-8-yle

lefamulina

{[(1*R*,2*R*,4*R*)-4-amino-2-hidroxyciclohexil}sulfanil]acetato de (3a*S*,4*R*,5*S*,6*S*,8*R*,9*R*,9a*R*,10*R*)-6-etenil-5-hidroxi-4,6,9,10-tetrametil-1-oxodecahidro-3*a*,9-propanociclopenta[8]anulen-8-ilo $C_{28}H_{45}NO_5S$ **lerimazolinum**

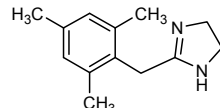
lerimazoline

2-[(2,4,6-trimethylphenyl)methyl]-4,5-dihydro-1*H*-imidazole

lérimazoline

2-[(2,4,6-triméthylphényl)méthyl]-4,5-dihydro-1*H*-imidazole

lerimazolina

2-[(2,4,6-trimetilfenil)metil]-4,5-dihidro-1*H*-imidazol $C_{13}H_{18}N_2$ 

lifastuzumab vedotinum #

lifastuzumab vedotin

immunoglobulin G1-kappa auristatin E conjugate, anti-[*Homo sapiens* SLC34A2 (solute carrier family 34 sodium phosphate member 2, sodium/phosphate cotransporter 2B, NaPi2b, NaPi3b)], humanized monoclonal antibody conjugated to auristatin E; gamma1 heavy chain (1-450) [humanized VH (*Homo sapiens* IGHV3-23*04 (85.70%) -(IGHD)-IGHJ5*01) [8.8.13] (1-120) -*Homo sapiens* IGHG1*03 (CH1 R120>K (217) (121-218), hinge (219-233), CH2 (234-343), CH3 (344-448), CHS (449-450)) (121-450)], (223-219')-disulfide with kappa light chain (1'-219') [humanized V-KAPPA (*Homo sapiens* IGKV1-39*01 (78.00%) -IGKJ1*01) [11.3.9] (1'-112') -*Homo sapiens* IGKC*01 (113'-219')]; dimer (229-229":232-232")-bisdisulfide; conjugated, on an average of 3 to 4 cysteinyl, to monomethylauristatin E (MMAE), via a cleavable maleimidocaproyl-valyl-citrullinyl-p-aminobenzoyloxycarbonyl (mc-val-cit-PABC) type linker

For the *vedotin* part, please refer to the document "INN for pharmaceutical substances: Names for radicals, groups and others"*.

lifastuzumab védotine

immunoglobuline G1-kappa conjuguée à l'auristatine E, anti-[*Homo sapiens* SLC34A2 (membre 2 de la famille 34 sodium phosphate de transporteurs de solutés, cotransporteur 2B de sodium/phosphate, NaPi2b, NaPi3b)], anticorps monoclonal humanisé conjugué à l'auristatine E; chaîne lourde gamma1 (1-450) [VH humanisé (*Homo sapiens* IGHV3-23*04 (85.70%) -(IGHD)-IGHJ5*01) [8.8.13] (1-120) -*Homo sapiens* IGHG1*03 (CH1 R120>K (217) (121-218), charnière (219-233), CH2 (234-343), CH3 (344-448), CHS (449-450)) (121-450)], (223-219')-disulfure avec la chaîne légère kappa (1'-219') [V-KAPPA humanisé (*Homo sapiens* IGKV1-39*01 (78.00%) -IGKJ1*01) [11.3.9] (1'-112') -*Homo sapiens* IGKC*01 (113'-219')]; dimère (229-229":232-232")-bisdisulfure; conjugué, sur 3 à 4 cystéinyl en moyenne, au monométhylaurostatine E (MMAE), via un linker clivable de type maléimidocaproyl-valyl-citrullinyl-p-aminobenzoyloxycarbonyl (mc-val-cit-PABC)

Pour la partie *védotine*, veuillez-vous référer au document "INN for pharmaceutical substances: Names for radicals, groups and others"**.

lifastuzumab vedotina

inmunoglobulina G1-kappa conjugada con la auristatina E, anti-[*Homo sapiens* SLC34A2 (miembro 2 de la familia 34 sodio fosfato de transportadores de solutos, cotransportador 2B de sodio/fosfato, NaPi2b, NaPi3b)], anticuerpo monoclonal humanizado conjugado con auristatina E; cadena pesada gamma1 (1-450) [VH humanizada (*Homo sapiens* IGHV3-23*04 (85.70%) -(IGHD)-IGHJ5*01) [8.8.13] (1-120) -*Homo sapiens* IGHG1*03 (CH1 R120>K (217) (121-218), bisagra (219-233), CH2 (234-343), CH3 (344-448), CHS (449-450)) (121-450)], (223-219')-disulfuro con la cadena ligera kappa (1'-219') [V-KAPPA humanizado (*Homo sapiens* IGKV1-39*01 (78.00%) -IGKJ1*01) [11.3.9] (1'-112') -*Homo sapiens* IGKC*01 (113'-219')]; dímero (229-229":232-232")-bisdisulfuro; conjugado, en una media de 3 a 4 restos cisteínil, con monometilaurostatina E (MMAE), mediante un conector separable de tipo maleimidocaproil-valil-citrulinil-p-aminobenciloxicarbonilo (mc-val-cit-PABC)

Para la fracción *vedotina* pueden referirse al documento "INN for pharmaceutical substances: Names for radicals, groups and others"**.

Heavy chain / Chaîne lourde / Cadena pesada
 EVQLVESGGG LVQPGGSRLR SCAASGFSFS DFAMSWVRQA PGKGLEWVAT 50
 IGRVAFHYYY PDSMKGRFTI SRDNISKNTLY LQMNISLRAED TAVYYCARHR 100
 GFDVGHDFWW QGGTLTVTSS ASTKGPSVFP LAPSSKSTSG GTAAIGCLVK 150
 DYFPEPVTVS WNSGALTSGV HTPFPAVLQSS GLYSLSVVVT VPSSSLGTQT 200
 YICVNHHKPS NTKVDKKVEP KSCDKTHTCP PCPAPELLGG PSVFLPPKP 250
 KDTLMISRTP EVTCVVVDVS HEDPEVKFNN YVDGVEVHNNA KTKPREEQYN 300
 STYRVVSVLT VLHQDWLNKG EYKCKVSNKA LEPAPIEKTS KAKGQPREPQ 350
 VYTLPPSREEE MTKNQVSLTC LVKGFFYPSDI AVEWESNGQP ENNYKTTTPV 400
 LDSDGSFFLY SKLTVDKSRW QQGNVFSCSV MHEALHNHYT QKSLSLSPGK 450

Light chain / Chaîne légère / Cadena ligera
 DIQMTQSPSS LSASVGDRVT ITCRSSSETLV HSSGNTYLEW YQQKPGKAKP 50
 LLIYRVSNRF SGVPSFRSGG GSCTGDFLTII SSLOPEDFAT YYCFQGSFNP 100
 LTFGGTKEVE IKRTVVAAPSV FIEPPPSDEQL KSGTAGSVCL LNNFYPREAK 150
 VQWKVDNALQ SGNSQESVTE QDSKDSTYSL SSTLTLSKAD YEKHKVYACE 200
 VTHQGLSSPV TKSFNRGEC 219

Disulfide bridges location / Position des ponts disulfure / Posiciones de los puentes disulfuro

Intra-H (C23- \bar{C} 104) 22-96 147-203 264-324 370-428

22"-96" 147"-203" 264"-324" 370"-428"

Intra-L (C23-C104) 23-93" 139-199"

23"-93" 139"-199"

Inter-H-L (h 5-CL 126)* 223-219" 223"-219"

Inter-H-H (h 11, h 14)* 229-229" 232-232"

*Two or three of the inter-chain disulfide bridges are not present, an average of 3 to 4 cysteinyl

*Deux ou trois des ponts disulfure inter-chaines ne sont pas présents, 3 à 4 cystéinyl

en moyenne étant chacun conjugué via une liaison thiéther à un linker-principe actif.

*Faltan dos o tres puentes disulfuro inter-catenarios, una media de 3 a 4 cisteínil está

conjugada a conectoras de principio activo.

N-glycosylation sites / Sites de N-glycosylation / Posiciones de N-glicosilación

H CH₂ N84.4:

300, 300"

lotilanerum
lotilaner

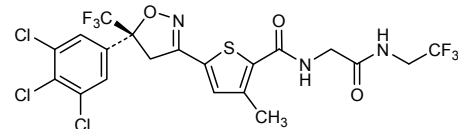
3-methyl-N-{2-oxo-2-[(2,2,2-trifluoroethyl)amino]ethyl}-5-[(5S)-5-(3,4,5-trichlorophenyl)-5-(trifluoromethyl)-4,5-dihydro-1,2-oxazol-3-yl]thiophene-2-carboxamide

lotilaner

3-méthyl-N-{2-oxo-2-[(2,2,2-trifluoroéthyl)amino]éthyl}-5-[(5S)-5-(3,4,5-trichlorophényle)-5-(trifluorométhyl)-4,5-dihydro-1,2-oxazol-3-yl]thiophène-2-carboxamide

lotilaner

3-metil-N-{2-oxo-2-[(2,2,2-trifluoroetil)amino]etil}-5-[(5S)-5-(3,4,5-triclorofenil)-5-(trifluorometil)-4,5-dihidro-1,2-oxazol-3-il]tiofeno-2-carboxamida



lubabegronum
lubabegron

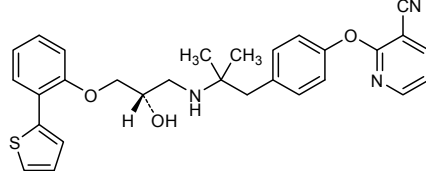
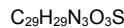
2-[4-[2-((2S)-2-hydroxy-3-[2-(thiophen-2-yl)phenoxy]propyl)amino]-2-methylpropyl]phenoxy]pyridine-3-carbonitrile

lubabégron

2-[4-[2-((2S)-2-hydroxy-3-[2-(thiophén-2-yl)phénoxy]propyl)amino]-2-méthylpropyl]phénoxy]pyridine-3-carbonitrile

lubabegrón

2-[4-[2-((2S)-2-hidroxi-3-[2-(tiofen-2-il)fenoxi]propil)amino]-2-metilpropil]fenoxi]piridina-3-carbonitrilo



Iuspaterceptum #
Iuspatercept

fusion protein for immune applications (FPIA) comprising the *Homo sapiens* ACVR2B (activin receptor type 2B, activin A receptor type IIB, activin receptor type IIB, ACTR-IIB, ActR-IIB) extracellular domain, fused with *Homo sapiens* immunoglobulin G1 Fc fragment; *Homo sapiens* ACVR2B precursor fragment 25-131 L79>D (55) (1-107) -linker triglycyl (108-110) -gamma1 chain H-CH2-CH3 fragment [*Homo sapiens* IGHG1*03 (hinge 8-15 (111-118), CH2 (119-228), CH3 (229-333), CHS (334-335)) (111-335); dimer (114-114':117-117')-bisdisulfide

Iuspatercept

protéine de fusion pour applications immunitaires (FPIA) comprenant le domaine extracellulaire d'*Homo sapiens* ACVR2B (récepteur de type 2B de l'activine, récepteur de type IIB de l'activine A, récepteur de type IIB de l'activine, ACTR-IIB, ActR-IIB), fusionné au fragment Fc de l'*Homo sapiens* immunoglobuline G1; *Homo sapiens* ACVR2B fragment 25-131 du précurseur L79>D (55) (1-107) -linker triglycyl (108-110) -fragment H-CH2-CH3 de la chaîne gamma1 [*Homo sapiens* IGHG1*03 (charnière 8-15 (111-118), CH2 (119-228), CH3 (229-333), CHS (334-335)) (111-335); dimère (114-114':117-117')-bisdisulfure

Iuspatercept

proteína de fusión para aplicaciones inmunitarias (FPIA) que comprende el dominio extracelular d'*Homo sapiens* ACVR2B (receptor de tipo 2B de la activina, receptor de tipo IIB de la activina A, receptor de tipo IIB de la activina, ACTR-IIB, ActR-IIB), fusionada con el fragmento Fc de la inmunoglobulina G1 de *Homo sapiens*; *Homo sapiens* ACVR2B fragmento 25-131 del precursor L79>D (55) (1-107) -linker triglicil (108-110) -fragmento H-CH2-CH3 de la cadena gamma1 [*Homo sapiens* IGHG1*03 (bisagra 8-15 (111-118), CH2 (119-228), CH3 (229-333), CHS (334-335)) (111-335); dímero (114-114':117-117')-bisdisulfuro

Fused chain / chaîne fusionnée / cadena fusionada
 ETRECIVYNA NWELERTNQS GLERCEGEQD KRLHCYASWR NSSGTIELVK 50
 KGCDWDDDFNC YDRQECVATE ENPQVYFCCC EGNCNCRFT HLPEAGGPEV 100
 TYEPPPTGGG THTCPCPAP ELLGPPSVEL FPPKPDTLM ISRTPEVTCV 150
 VVDVSHEDEPE VKFNWYVDGV EVHNAKTKPR EEQYNSTYRV VSVLTVLHQD 200
 WLNGKEYCK VSNKALPAPI EKTISAKQG PREFQVYTL P SREEMTKNQ 250
 VSLTCLVGF YPSDIAVEWE SNGQEPENNYK TTTFPVLDSDG SFFLYSKLT 300
 DKSRWQQGNV FSCSVMHEAL HNHYTQKSLS LSPGK 335

Disulfide bridges location / Position des ponts disulfure / Posiciones de los puentes disulfuro
 Intrachain ACVR2B 5'-35' 25'-53' 60'-79' 66'-78' 80'-85'
 5'-35' 25'-53' 60'-79' 66'-78' 80'-85'
 IGHG1 (C23-C104) 149-209 255-313
 149-209' 255-313'
 Interchain IGHG1 (h 11, h 14) 114-114' 117-117'

N-glycosylation sites / Sites de N-glycosylation / Posiciones de N-glicosilación
 ACVR2B:
 18, 41, 18', 41'
 IGHG1 CH2 N84.4:
 185, 185'

mipsagarginum
mipsagargin

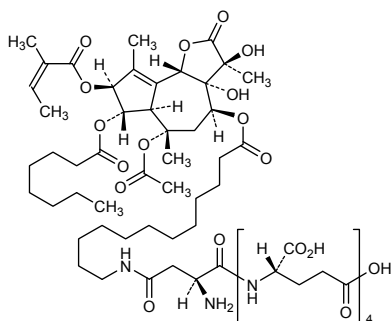
sarcoplasmic/endoplasmic reticulum Ca^{2+} dependent ATPase (SERCA) inhibitor conjugated to a peptide targeting prostate-specific membrane antigen (PSMA):
 $N^{\delta}\text{-}(12\text{-}\{[(3S,3aR,4S,6S,6aR,7S,8S,9bS)\text{-}6\text{-}(acetyloxy)\text{-}3,3a\text{-dihydroxy-}3,6,9\text{-trimethyl-}8\text{-}\{[(2Z)\text{-2-methylbut-2-enoyl]oxy\}\text{-}7\text{-}(octanoyloxy)\text{-}2\text{-oxo-}2,3,3a,4,5,6,6a,7,8,9b\text{-decahydroazuleno[4,5-b]\furan-4-yl]oxy\}\text{-}12\text{-oxododecyl})\text{-L-asparaginyl-L-\gamma-glutamyl-L-\gamma-glutamyl-L-\gamma-glutamyl-L-\gamma-glutamyl-L-glutamic acid$

mipsagargine

inhibiteur de l'ATPase dépendante du Ca^{2+} du réticulum sarcoplasmique/endoplasmique conjugué à un peptide ciblant l'antigène prostatique membranaire spécifique (APMS):
acide $N^{\delta}\text{-}(12\text{-}\{[(3S,3aR,4S,6S,6aR,7S,8S,9bS)\text{-}6\text{-}(acétyloxy)\text{-}3,3a\text{-dihydroxy-}3,6,9\text{-triméthyl-}8\text{-}\{[(2Z)\text{-2-méthylbut-2-énoyl]oxy\}\text{-}7\text{-}(octanoïloxy)\text{-}2\text{-oxo-}2,3,3a,4,5,6,6a,7,8,9b\text{-décahydroazuléno[4,5-b]\furan-4-yl]oxy\}\text{-}12\text{-oxododecyl})\text{-L-asparaginyl-L-\gamma-glutamyl-L-\gamma-glutamyl-L-\gamma-glutamyl-L-\gamma-glutamique$

mipsagargina

inhibidor de la ATPasa dependiente de Ca^{2+} de retículo endoplásmico/sarcoplásmico (SERCA) conjugado con un péptido cuya diana es el antígeno de membrana específico de la próstata (PSMA):
ácido $N^{\delta}\text{-}(12\text{-}\{[(3S,3aR,4S,6S,6aR,7S,8S,9bS)\text{-}6\text{-}(acetiloxy)\text{-}3,3a\text{-dihidroxi-}3,6,9\text{-trimetil-}8\text{-}\{[(2Z)\text{-2-metilbut-2-enoil]oxi\}\text{-}7\text{-}(octanoiloxy)\text{-}2\text{-oxo-}2,3,3a,4,5,6,6a,7,8,9b\text{-decahidroazuleno[4,5-b]\furan-4-il]oxi\}\text{-}12\text{-oxododecil})\text{-L-asparaginil-L-\gamma-glutamil-L-\gamma-glutamil-L-\gamma-glutamiloxy\}-L-\gamma-glutamyl-L-\gamma-glutamyl-L-glutámico$

**modotuximabum #**
modotuximab

immunoglobulin G1-kappa, anti-[*Homo sapiens* EGFR (epidermal growth factor receptor, ERBB1, HER1) domain III], chimeric monoclonal antibody; gamma1 heavy chain (1-448) [*Mus musculus* VH (IGHV1S81*02 - (IGHD)-IGHJ4*01) [8.8.12] (1-119) -*Homo sapiens* IGHG1*03 CHS K2>del (120-448)], (222-219')-disulfide with kappa light chain (1'-219') [*Mus musculus* V-KAPPA (IGKV2-109*01 -IGKJ2*01) [11.3.9] (1'-112') -*Homo sapiens* IGKC*01 (113'-219')]; (228-228":231-231")-bisdisulfide dimer

modotuximab

immunoglobuline G1-kappa, anti-[*Homo sapiens* EGFR (récepteur du facteur de croissance épidermique ERBB1, HER1) domaine III], anticorps monoclonal chimérique; chaîne lourde gamma1 (1-448) [*Mus musculus* VH (IGHV1S81*02 - (IGHD)-IGHJ4*01) [8.8.12] (1-119) -*Homo sapiens* IGHG1*03 CHS K2>del (120-448)], (222-219')-disulfure avec la chaîne légère kappa (1'-219') [*Mus musculus* V-KAPPA (IGKV2-109*01 -IGKJ2*01) [11.3.9] (1'-112') -*Homo sapiens* IGKC*01 (113'-219')]; dimère (228-228":231-231")-bisdisulfure

modotuximab

inmunoglobulina G1-kappa, anti-[EGFR de *Homo sapiens* (receptor del factor de crecimiento epidérmico ERBB1, HER1) dominio III], anticuerpo monoclonal químérico; cadena ligera gamma1 (1-448) [*Mus musculus* VH (IGHV1S81*02 - (IGHD)-IGHJ4*01) [8.8.12] (1-119) -*Homo sapiens* IGHG1*03 CHS K2>del (120-448)], (222-219')-disulfuro con la cadena ligera kappa (1'-219') [*Mus musculus* V-KAPPA (IGKV2-109*01 -IGKJ2*01) [11.3.9] (1'-112') -*Homo sapiens* IGKC*01 (113'-219')]; dímero (228-228":231-231")-bisdisulfuro

Heavy chain / Chaîne lourde / Cadena pesada

QVQLQQPGAE LVEPGGSVKL SCKASGYTFT SHWMHWVKQR PGQGLEWIGE 50
INPSGSRNNY NEFKFSKATL TVDKSSSTAY MQFSSLTSED SAVYYCVRY 100
GYDEAMDYWG QGTSTVTVSSA STKGPSVPL APSSKSTSGG TAALGCLVKD 150
YFPEPVTVSW NSGALTSGVH TFPAPVLQSSG LYSLSSVTVV PSSSLGTQTY 200
ICNVNHPKPSN TKVDKRVEEK SCDETHHTCPP CPAPELLGGP SVFLFFPKPK 250
DTLMISRTPE VTCVVVVDVSH EDPEVKFNWY VGCGVEVHNAAK TKPREEQYNS 300
TYRVRVSVLTV LHQDWNLNGKE YKCKVSNKAL PAPIEKTISK ARKQPREPVQ 350
YTLPSPREEM TKNQVSLTCL VKGFYPSDIA VEWESENQPE NNYKTPPPVL 400
DSDGSFFLYS KLTVDKSRWQ QGNVFSCSVH HEALHNHYTQ KSLSLSPG 448

Light chain / Chaîne légère / Cadena ligera

DIVMTQAAFS NPVTLGTSA ISCRSSKSLL HSNGITYLYW YLQKPGQSPQ 50
LLIYQMSNLG SGVPDRFSSS GS GTDFTLRI SRV EAEDVGV YYCAQNL ELP 100
YTFGGTKLE IKRTVAAPSV FIFPPSDEQL KSGTASVCL LNNFYFREAK 150
VQWKVNDALQ SGNSQESVTE QDSKDSTYSL SSTTLSKAD YEKHKVYACE 200
VTHQGLSSPV TKS FNRGE C 219

Disulfide bridges location / Position des ponts disulfure / Posiciones de los puentes disulfuro
 Intra-H 22-96 146-202 263-323 369-427
 22"-96" 146"-202" 263"-323" 369"-427"
 Intra-L 23"-93" 139"-199"
 23"-93" 139"-199"
 Inter-H-L 222-219" 222"-219"
 Inter-H-H 228-228" 231-231"

N-glycosylation sites / Sites de N-glycosylation / Posiciones de N-glicosilación
 H CH2 N84.4:
 299, 299"

osilodrostatum

osilodrostat

4-[(5*R*)-6,7-dihydro-5*H*-pyrrolo[1,2-*c*]imidazol-5-yl]-3-fluorobenzonitrile

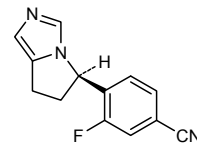
osilodrostat

4-[(5*R*)-6,7-dihydro-5*H*-pyrrolo[1,2-*c*]imidazol-5-yl]-3-fluorobenzonitrile

osilodrostat

4-[(5*R*)-6,7-dihidro-5*H*-pirrolo[1,2-*c*]imidazol-5-il]-3-fluorobenzonitrilo

C₁₃H₁₀FN₃



otlertuzumab #

otlertuzumab

immunoglobulin G1-kappa heavy chain dimer, anti-[*Homo sapiens* CD37 (tetraspanin-26, TSPAN26)], humanized monoclonal antibody; gamma1-kappa heavy chain 'VH-linker-V-KAPPA-hinge-CH2-CH3' (1-483) [humanized VH (*Homo sapiens* IGHV5-51*01 (84.70%) - (IGHD)-IGHJ5*01) [8.8.9] (1-116) -linker pentakis(tetraglycyl-séryl) (117-141) -humanized V-KAPPA (*Homo sapiens* IGKV3-NL2 (89.90%) -IGKJ1*01) [6.3.9] (142-248) -linker glycyl-aspartyl-glutaminyl (249-251) -*Homo sapiens* IGHG1*01 (hinge C5>S (256), C11>S (262) (252-266), CH2 (267-376), CH3 (377-481), CHS (482-483)) (252-483)]; dimer (265-265')-disulfide

otlertuzumab

immunoglobuline G1-kappa chaîne lourde dimère, anti-[*Homo sapiens* CD37 (tétraspanine-26, TSPAN26)], anticorps monoclonal humanisé; gamma1-kappa chaîne lourde 'VH-linker-V-KAPPA-charnière-CH2-CH3' (1-483) [VH humanisé (*Homo sapiens* IGHV5-51*01 (84.70%) - (IGHD)-IGHJ5*01) [8.8.9] (1-116) -linker pentakis(tétraglycyl-séryl) (117-141) -V-KAPPA humanisé (*Homo sapiens* IGKV3-NL2 (89.90%) -IGKJ1*01) [6.3.9] (142-248) -linker glycyl-aspartyl-glutaminyl (249-251) -*Homo sapiens* IGHG1*01 (charnière C5>S (256), C11>S (262) (252-266), CH2 (267-376), CH3 (377-481), CHS (482-483)) (252-483)]; dimère (265-265')-disulfure

otlertuzumab

inmunoglobulina G1-kappa cadena pesada dímero, anti-[*Homo sapiens* CD37 (tetraspanina-26, TSPAN26)], anticuerpo monoclonal humanizado; gamma1-kappa cadena pesada 'VH-linker-V-KAPPA-bisagra-CH2-CH3' (1-483) [VH humanizado (*Homo sapiens* IGHV5-51*01 (84.70%) -(IGHD)-IGHJ5*01) [8.8.9] (1-116) -linker pentakis(tetraglicil-séryl) (117-141) -V-KAPPA humanizado (*Homo sapiens* IGKV3-NL2 (89.90%) -IGKJ1*01) [6.3.9] (142-248) -linker glicil-aspartil-glutaminil (249-251) -*Homo sapiens* IGHG1*01 (bisagraC5>S (256), C11>S (262) (252-266), CH2 (267-376), CH3 (377-481), CHS (482-483)) (252-483)]; dímero (265-265')-disulfuro

Heavy chain / Chaîne lourde / Cadena pesada

```

EVQLVQSGAE VKKPGESLKI SCKGSGYSFT GYNMMNWVRQM PGKGLEWMGN 50
IDPYYGTTY NRKFKGQVTI SADKSISTAY LQWSSLKASD TAMYYCARSV 100
GPFDSWGQGT LVTVSSGGGG SGGGGGGGGG SEIVLTQSPA 150
TLSLSPGERA TLSRASEENV YSYLAWYQQK PQQAPRLIY FAKTLAEGIP 200
ARFSGSGSGT DFTLTISSE PEDFAVYQCQ HHSDNEWTFG QGTKVEIKGD 250
QEPKSSDKTH TSPPCPAREL LGGPSVFLFP PKPKDTLMIS RTPEVTCVV 300
DVSHEDPEVK FNWYVVDGVEV HNAKTRKPREE QYNSTYRVVS VLTVLHQDWL 350
NGKEYKCKVS NKALPAPIEK TISKARGQPR EPQVYTLPPS RDELTKNQVS 400
LTCLVKGFYP SDIAVEWESN QQPENNYKTT PPVLDSGSF FLYSKLTVDK 450
SRWQQGNVFS CSVMEALHN HYTQKSLSSL PKG 483

```

Disulfide bridges location / Position des ponts disulfure / Posiciones de los puentes disulfuro
 Intra-H (C23-C104) 22-96 164-229 297-357 403-461
 22"-96" 164"-229" 297"-357" 403"-461"
 Inter-H-H (h 14) 265-265'

N-glycosylation sites / Sites de N-glycosylation / Posiciones de N-glicosilación
 H CH2 N84.4:
 333, 333"

pembrolizumab #
pembrolizumab

immunoglobulin G4-kappa, anti-[*Homo sapiens* PDCD1 (programmed cell death 1, PD-1, PD1, CD279)], humanized monoclonal antibody; gamma4 heavy chain (1-447) [humanized VH (*Homo sapiens* IGHV1-2*02 (79.60%) -(IGHD)-IGHJ4*01 L123>T (115)) [8.8.13] (1-120) -*Homo sapiens* IGHG4*01 (CH1 (121-218), hinge S10>P (228) (219-230), CH2 (231-340), CH3 (341-445), CHS (446-447)) (121-447)], (134-218')-disulfide with kappa light chain (1'-218') [humanized V-KAPPA (*Homo sapiens* IGKV3D-11*01 (85.10%) -IGKJ4*01 [10.3.9] (1'-111') -*Homo sapiens* IGKC*01 (112'-218')]; dimer (226-226":229-229")-bisdisulfide

pembrolizumab

immunoglobuline G4-kappa, anti-[*Homo sapiens* PDCD1 (protéine 1 de mort cellulaire programmée, PD-1, PD1, CD279)], anticorps monoclonal humanisé; chaîne lourde gamma4 (1-447) [VH humanisé (*Homo sapiens* IGHV1-2*02 (79.60%) -(IGHD)-IGHJ4*01 L123>T (115)) [8.8.13] (1-120) -*Homo sapiens* IGHG4*01 (CH1 (121-218), charnière S10>P (228) (219-230), CH2 (231-340), CH3 (341-445), CHS (446-447)) (121-447)], (134-218')-disulfure avec la chaîne légère kappa (1'-218') [V-KAPPA humanisé (*Homo sapiens* IGKV3D-11*01 (85.10%) -IGKJ4*01) [10.3.9] (1'-111') -*Homo sapiens* IGKC*01 (112'-218')]; dimère (226-226":229-229")-bisdisulfure

pembrolizumab

inmunoglobulina G4-kappa, anti-[PDCD1 de *Homo sapiens* (proteína 1 de muerte celular programada, PD-1, PD1, CD279)], anticuerpo monoclonal humanizado; cadena pesada gamma4 (1-447) [VH humanizado (*Homo sapiens* IGHV1-2*02 (79.60%) -(IGHD)-IGHJ4*01 L123>T (115)) [8.8.13] (1-120) -*Homo sapiens* IGHG4*01 (CH1 (121-218), bisagra S10>P (228) (219-230), CH2 (231-340), CH3 (341-445), CHS (446-447)) (121-447)], (134-218')-disulfuro con la cadena ligera kappa (1'-218') [V-KAPPA humanizado (*Homo sapiens* IGKV3D-11*01 (85.10%) -IGKJ4*01) [10.3.9] (1'-111') -*Homo sapiens* IGKC*01 (112'-218')]; dímero (226-226":229-229")-bisdisulfuro

Heavy chain / Chaîne lourde / Cadena pesada
 QVQLVQSGVE VKKPGASVKV SKCASGYTFT NYMMWURQA PCQGLEWMGG 50
 INPSNNGTTF NERFKNRVIL TTDSSTTTAY MELKSLOFDD TAVIYCARRD 100
 YRFDMGFDW GQGTTVTVSS ASTKGPSVFT LAPCSRSTSE STAALGCLVK 150
 DYFPEPVTVS WNSGALTSGV HTFPAVLGSQ GLYSLSVVVT VPSSSLGTTK 200
 YTCNVDHKPS NTKVDRKRVEV KYGPPCPFC APEFLGGPSV FLFFPKPKDT 250
 LMISRTPEVT VVVDVDSQEV PEVQFNWVVA GVEVHNARTK PREEQFNSTY 300
 RVVSVLTVLH QDWLNKGKEYK CKVSNKGLPS SIEKTISKAK GQPREPQVYT 350
 LPPSQEEMTK NQVSITCLVW GFYPSDIATE WESNGQPENN YKTPPPVFLDS 400
 DGSFFLYSRL TVDKSRWQES NVFSCSVMHE ALHNHYTQKS LSLSLGK 447

Light chain / Chaîne légère / Cadena ligera
 EIVLTQSPAT LSLSPGERAT LSCRASKGV S TSGYSYLHWY QQKPGQAPRL 50
 LIYLASYLES GVPAREFSGG SGTDFTLTLIS SLEPEDFAVY YCQHSRDLPL 100
 TFGGGTKEVI KRTVAAPSFSV IFPPSDEQLK SGTASVVCLL NNFPREAKV 150
 QWKVDNALQS GNSQESVTEQ DSKDSTYSL S STLTLKADY EKHKVYACEV 200
 THQQLSSPVK KSFNRGEC 218

Disulfide bridges location / Position des ponts disulfure / Posiciones de los puentes disulfuro
 Intra-H (C23-C104) 22,-96 147,-203 261,-321 367,-425
 22,-96" 147,-203" 261"-321" 367"-425"
 Intra-L (C23-C104) 23,-92 138,-198"
 23,-92" 138"-198"
 Inter-H-L (CH1 10-CL 126) 134,-218 134"-218"
 Inter-H-H (h 8, h 11) 226-226" 229-229"

N-glycosylation sites / Sites de N-glycosylation / Posiciones de N-glicosilación
 H C12 N84: 297, 297"

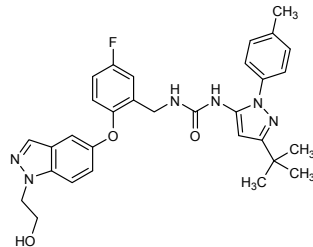
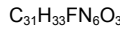
pexmetinib
pexmetinib

N-[3-*tert*-butyl-1-(4-methylphenyl)-1*H*-pyrazol-5-yl]-*N'*-[(5-fluoro-2-[(1-(2-hydroxyethyl)-1*H*-indazol-5-yl)oxy]phenyl)methyl]urea

pexmétinib

N-[3-*tert*-butyl-1-(4-méthylphényl)-1*H*-pyrazol-5-yl]-*N'*-[(5-fluoro-2-[(1-(2-hydroxyéthyl)-1*H*-indazol-5-yl]oxy)phényl)méthyl]urée

pexmetinib

N-[3-*terc*-butil-1-(4-metilfenil)-1*H*-pirazol-5-il]-*N'*-[(5-fluoro-2-[(1-(2-hidroxietil)-1*H*-indazol-5-il]oxi)fenil]metil]urea**pretomanidum**

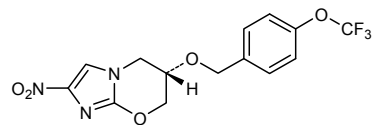
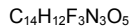
pretomanid

(6*S*)-2-nitro-6-[(4-(trifluoromethoxy)phenyl)methoxy]-6,7-dihydro-5*H*-imidazo[2,1-*b*][1,3]oxazine

préтоманид

(6*S*)-2-nitro-6-[(4-(trifluorométhoxy)phényl)méthoxy]-6,7-dihydro-5*H*-imidazo[2,1-*b*][1,3]oxazine

pretomanid

(6*S*)-2-nitro-6-[(4-(trifluorometoxi)fenil)metoxi]-6,7-dihidro-5*H*-imidazo[2,1-*b*][1,3]oxazina**ralpancizumab #**
ralpancizumab

immunoglobulin G2-kappa, anti-[*Homo sapiens* PCSK9 (proprotein convertase subtilisin/kexin type 9, neural apoptosis-regulated convertase 1, NARC1, NARC-1, proprotein convertase 9, PC9)], humanized monoclonal antibody; gamma2 heavy chain (1-444) [humanized VH (*Homo sapiens* IGHV1-46*01 (91.80%) -(IGHD)-IGHJ1*01 L123-T (113)) [8.8.11] (1-118) -*Homo sapiens*IGHG2*01 (CH1 (119-216), hinge (217-228), CH2 A115>S (327), P116>S (328) (229-337), CH3 (338-442), CHS (443-444)) (119-444)], (132-214')-disulfide with kappa light chain (1'-214') [humanized V-KAPPA (*Homo sapiens* IGKV1-33*01 (85.10%) -IGKJ2*01) [6.3.9] (1'-107') -*Homo sapiens* IGKC*01 (108-214')]; dimer (220-220":221-221":224-224":227-227")-tetrakisdisulfide

ralpizumab

immunoglobuline G2-kappa, anti-[*Homo sapiens* PCSK9 (proprotéine convertase subtilisine/kexine type 9, convertase 1 régulée par l'apoptose neuronale, NARC1, NARC-1, proprotéine convertase 9, PC9)], anticorps monoclonal humanisé; chaîne lourde gamma2 (1-444) [VH humanisé (*Homo sapiens* IGHV1-46*01 (91.80%)-(IGHD)-IGHJ1*01 L123>T (113)) [8.8.11] (1-118) -*Homo sapiens*IGHG2*01 (CH1 (119-216), charnière (217-228), CH2 A115>S (327), P116>S (328) (229-337), CH3 (338-442), CHS (443-444)) (119-444)], (132-214')-disulfure avec la chaîne légère kappa (1'-214') [V-KAPPA humanisé (*Homo sapiens* IGKV1-33*01 (85.10%) -IGKJ2*01) [6.3.9] (1'-107') -*Homo sapiens* IGKC*01 (108'-214')]; dimère (220-220":221-221":224-224":227-227")-tétrakisdisulfure

ralpizumab

inmunoglobulina G2-kappa, anti-[*Homo sapiens* PCSK9 (propteína convertasa subtilisina/kexina tipo 9, convertasa 1 regulada por la apoptosis neuronal, NARC1, NARC-1, propteína convertasa 9, PC9)], anticuerpo monoclonal humanizado; cadena pesada gamma2 (1-444) [VH humanizado (*Homo sapiens* IGHV1-46*01 (91.80%)-(IGHD)-IGHJ1*01 L123>T (113)) [8.8.11] (1-118) -*Homo sapiens*IGHG2*01 (CH1 (119-216), bisagra (217-228), CH2 A115>S (327), P116>S (328) (229-337), CH3 (338-442), CHS (443-444)) (119-444)], (132-214')-disulfuro con la cadena ligera kappa (1'-214') [V-KAPPA humanizado (*Homo sapiens* IGKV1-33*01 (85.10%) -IGKJ2*01) [6.3.9] (1'-107') -*Homo sapiens* IGKC*01 (108'-214')]; dímero (220-220":221-221":224-224":227-227")-tetrakisdisulfuro

Heavy chain / Chaîne lourde / Cadena pesada
 QVQLVQSGAE VKKPGASVKV SCKASGYFTF SYMMHWVRQA PGQGLEWMGE 50
 IHPSGGRTNY NEKFKSRVTM TRDTSTSTVV MELOSSLRSED TAVYYCARER 100
 PLYASDLWQG GTTVTIVSSA TKGFSVFLA PCSRSTSEST AALGCLVKDY 150
 FPEPVITVSWN SGALTSGVHT FPAVLQSSGL YSLSSVVTVPP SSNFGTQTYI 200
 CNVDHKPSNT KVDKTVERKC CVECPCPAP PVAGPSVFLF PPKPKDTLMI 250
 SRTPEVTCVV VDVSHEDPEV QFNWYVDGVE VHNAKTKPRE EQFNSTFRVV 300
 SVLTVVHQDW LNKEYKCKV SNKGLPSSIE KTISKTKGQP REPQVVTLP 350
 SREEMTKNQV SLTCLVKGFY PSDIAVEWES NGQFENNYKTP PMLDSDGS 400
 FFLYSKLTVQ KSRWQQGNVF SCSVMHEALH NYHTQKSLSL SPGK 444

Light chain / Chaîne légère / Cadena ligera
 DIQMTQSPSS LSASVGDRTV ITCKASQDVH TAVAWYQQKP GKAKPLLIYH 50
 ASRYRTGVPS RFSGSGSGTD FTFTISSLQGP EDIATYYCQQ RYSLWRTFGQ 100
 GTKLEIKRTV AAPSVFIFPP SDEQLKSGTA SVVCLNNFY PREAKVQWKV 150
 DNALQSGNSQ ESVTEQDSKD STYSLSSLT LSKADYEKHK VYACEVTHQG 200
 LSSPVTKSFN RGEC 214

Disulfide bridges location / Position des ponts disulfure / Posiciones de los puentes disulfuro
 Intra-H (C23-C104) 22"-96" 145"-201" 258"-318" 364"-422"
 22"-96" 145"-201" 258"-318" 364"-422"
 Intra-L (C23-C104) 23"-88" 134"-194"
 23"-88" 134"-194"
 Inter-H-L (CH1 10-CL 126) 132-214" 132-214"
 Inter-H-H (h 4, h 5, h 11, h 14) 220-220" 221-221" 224-224" 227-227"

N-glycosylation sites / Sites de N-glycosylation / Posiciones de N-glicosilación
 H CH2 N84.4:
 294, 294"

relamorelinum

relamorelin

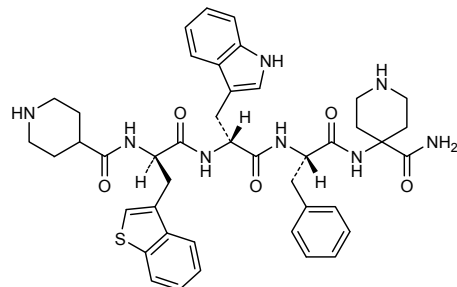
[3-(1-benzothiophen-3-yl)-N-(piperidin-4-ylcarbonyl)-D-alanyl]-D-tryptophyl-L-phenylalanyl-(4-aminopiperidine-4-carboxamide)

rélamoréline

[3-(1-benzothiophén-3-yl)-N-(pipéridin-4-ylcarbonyl)-D-alanyl]-D-tryptophyl-L-phénylalanyl-(4-aminopipéridine-4-carboxamide)

relamoreolina

[3-(1-benzotiofen-3-il)-N-(piperidin-4-ilcarbonyl)-D-alanil]-D-triptofil-L-fenilalanil-(4-aminopiperidina-4-carboxamida)



ribuvaptanum
ribuvaptan

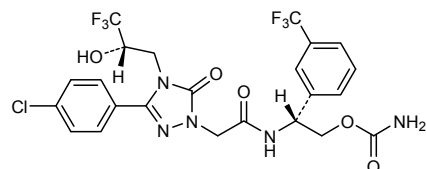
(2*R*)-2-({3-(4-chlorophenyl)-5-oxo-4-[(2*S*)-3,3,3-trifluoro-2-hydroxypropyl]-4,5-dihydro-1*H*-1,2,4-triazol-1-yl}acetamido)-2-[3-(trifluoromethyl)phenyl]ethyl carbamate

ribuvaptan

carbamate de (2*R*)-2-({3-(4-chlorophényl)-5-oxo-4-[(2*S*)-3,3,3-trifluoro-2-hydroxypropyl]-4,5-dihydro-1*H*-1,2,4-triazol-1-yl}acétamido)-2-[3-(trifluorométhyl)phényl]éthyle

ribuvaptán

carbamato de (2*R*)-2-({3-(4-clorofenil)-5-oxo-4-[(2*S*)-3,3,3-trifluoro-2-hidroxipropil]-4,5-dihidro-1*H*-1,2,4-triazol-1-il}acetamido)- 2-[3-(trifluorometil)feníl]etilo



samataszirum
samatasvir

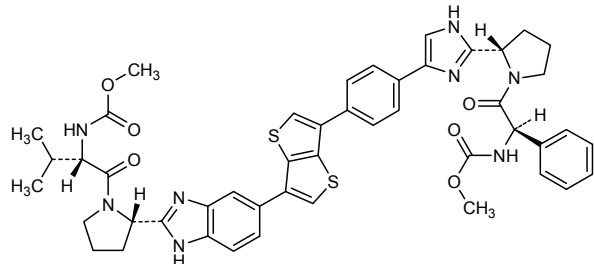
methyl {(1*R*)-2-[(2*S*)-2-{4-[4-(6-{2-[(2*S*)-1-((2*S*)-2-[(methoxycarbonyl)amino]-3-methylbutanoyl]pyrrolidin-2-yl]-1*H*-benzimidazol-5-yl}thieno[3,2-*b*]thien-3-yl)phenyl]-1*H*-imidazol-2-yl}pyrrolidin-1-yl]-2-oxo-1-phenylethyl}carbamate

samatasvir

{(1*R*)-2-[(2*S*)-2-{4-[4-(6-{2-[(2*S*)-1-[(méthoxycarbonyl)amino]-3-méthylbutanoyl}pyrrolidin-2-yl]-1*H*-benzimidazol-5-yl}thiéno[3,2-*b*]thiéen-3-yl)phényl]-1*H*-imidazol-2-yl}pyrrolidin-1-yl]-2-oxo-1-phénylethyl}carbamate de méthyle

samatasvir

{(1*R*)-2-[(2*S*)-2-{4-[4-(6-{2-[(2*S*)-1-[(metoxicarbonil)amino]-3-metilbutanoil}pirrolidin-2-il]-1*H*-benzoimidazol-5-il}tieno[3,2-*b*]tien-3-il)fenil]-1*H*-imidazol-2-il}pirrolidin-1-il]-2-oxo-1-feniletil}carbamato de metilo

**selinexorum**

selinexor

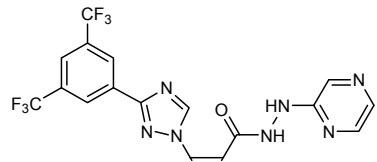
(2Z)-3-[3-[3,5-bis(trifluoromethyl)phenyl]-1H-1,2,4-triazol-1-yl]-N'-(pyrazin-2-yl)prop-2-enehydrazide

sélinexor

(2Z)-3-[3-[3,5-bis(trifluorométhyl)phényl]-1H-1,2,4-triazol-1-yl]-N'-(pyrazin-2-yl)prop-2-ènehydrazide

selinexor

(2Z)-3-[3-[3,5-bis(trifluoromethyl)fenil]-1H-1,2,4-triazol-1-il]-N'-(pirazin-2-il)prop-2-enohidrazida

**sepetaprostum**

sepetaprost

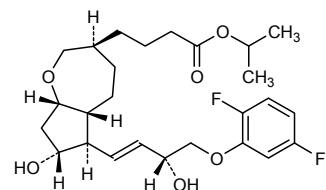
propan-2-yl 4-((3S,5aR,6R,7R,8aS)-6-[(1E,3R)-4-(2,5-difluorophenoxy)-3-hydroxybut-1-en-1-yl]-7-hydroxyoctahydro-2H-cyclopenta[b]oxepin-3-yl)butanoate

sépétaprost

4-((3S,5aR,6R,7R,8aS)-6-[(1E,3R)-4-(2,5-difluorophénoxy)-3-hydroxybut-1-én-1-yl]-7-hydroxyoctahydro-2H-cyclopenta[b]oxépin-3-yl)butanoate de propan-2-yde

sepetaprost

4-((3S,5aR,6R,7R,8aS)-6-[(1E,3R)-4-(2,5-difluorofenoxi)-3-hidroxibut-1-en-1-il]-7-hidroxioctahidro-2H-ciclopenta[b]oxepin-3-il)butanoato de propan-2-ilo



sofituzumab vedotinum #
sofituzumab vedotin

immunoglobulin G1-kappa auristatin E conjugate, anti-[*Homo sapiens* MUC16 (mucin 16, MUC-16, cancer antigen 125, CA125)], humanized monoclonal antibody conjugated to auristatin E; gamma1 heavy chain (1-446) [humanized VH (*Homo sapiens* IGHV3-48*03 (79.80%) -(IGHD)-IGHJ4*01) [9.8.9] (1-116) -*Homo sapiens* IGHG1*03 (CH1 R120>K (213) (117-214), hinge (215-229), CH2 (230-339), CH3 (340-444), CHS (445-446)) (117-446)], (219-214')-disulfide with kappa light chain (1'-214') [humanized V-KAPPA (*Homo sapiens* IGKV1-5*01 (87.90%) -IGKJ1*01) [6.3.9] (1'-107') -*Homo sapiens* IGKC*01 (108'-214')]; dimer (225-225"-228-228")-bisdisulfide; conjugated, on an average of 3 to 4 cysteinyl, to monomethylauristatin E (MMAE), via a cleavable maleimidocaproyl-valyl-citrullinyl-p-aminobenzoyloxycarbonyl (mc-val-cit-PABC) type linker

For the *vedotin* part, please refer to the document "INN for pharmaceutical substances: Names for radicals, groups and others".*

sofituzumab védotine

immunoglobuline G1-kappa conjuguée à l'auristatine E, anti-[*Homo sapiens* MUC16 (mucine 16, MUC-16, antigène de cancer 125, CA125)], anticorps monoclonal humanisé conjugué à l'auristatine E; chaîne lourde gamma1 (1-446) [VH humanisé (*Homo sapiens* IGHV3-48*03 (79.80%) -(IGHD)-IGHJ4*01) [9.8.9] (1-116) -*Homo sapiens* IGHG1*03 (CH1 R120>K (213) (117-214), charnière (215-229), CH2 (230-339), CH3 (340-444), CHS (445-446)) (117-446)], (219-214')-disulfure avec la chaîne légère kappa (1'-214') [V-KAPPA humanisé (*Homo sapiens* IGKV1-5*01 (87.90%) -IGKJ1*01) [6.3.9] (1'-107') -*Homo sapiens* IGKC*01 (108'-214')]; dimère (225-225"-228-228")-bisdisulfure; conjugué, sur 3 à 4 cystéinyl en moyenne, au monométhylauristatine E (MMAE), via un linker clivable de type maléimidocaproyl-valyl-citrullinyl-p-aminobenzoyloxycarbonyl (mc-val-cit-PABC)

Pour la partie *védotine*, veuillez-vous référer au document "INN for pharmaceutical substances: Names for radicals, groups and others".*

sofituzumab vedotina

inmunoglobulina G1-kappa conjugada con la auristatina E, anti-[*Homo sapiens* MUC16 (mucina 16, MUC-16, antígeno de cáncer 125, CA125)], anticuerpo monoclonal humanizado conjugado con la auristatina E; cadena pesada gamma1 (1-446) [VH humanizado (*Homo sapiens* IGHV3-48*03 (79.80%) -(IGHD)-IGHJ4*01) [9.8.9] (1-116) -*Homo sapiens* IGHG1*03 (CH1 R120>K (213) (117-214), bisagra (215-229), CH2 (230-339), CH3 (340-444), CHS (445-446)) (117-446)], (219-214')-disulfuro con la cadena ligera kappa (1'-214') [V-KAPPA humanizada (*Homo sapiens* IGKV1-5*01 (87.90%) -IGKJ1*01) [6.3.9] (1'-107') -*Homo sapiens* IGKC*01 (108'-214')]; dímero (225-225"-228-228")-bisdisulfuro; conjugado, en una media de 3 a 4 restos cisteínil, con monometilauristatina E (MMAE), mediante un conector separable de tipo maleimidocaproil-valil-citrulinil-p-aminobencilloxicarbonilo (mc-val-cit-PABC)

Para la fracción *vedotina* pueden referirse al documento "INN for pharmaceutical substances: Names for radicals, groups and others".*

Heavy chain / Chaîne lourde / Cadena pesada

EVQLVESGGC LVQPGGLSLR SCAASGYSIT NDYAWNWRQ APGKGLEWVG 50
 YISLYSGVTT NSLSKSRFTL SRDTSKNTLY LQMNSLRAED TAVYYCARWT 100
 SGLDWGQGT LTVVSASSTP GGSVEPLAPS SKSTSGGTAA LGCLVKDYFP 150
 EPVTVSNSG ALTSGVHTFP AVLOSSGLYS LSSVVTVPESS SLGTQTYICN 200
 VNHKPSNTKV DKVKEPKSCD KTHTCPCCPA PELLGGPSVF LFPPKPKDTL 250
 MISRTPEVTC VVVDVSHEDP EVKFNWYVDG VEVHNNAKTP REEQINSTYR 300
 VVSVLTVLHQ DWLNGKEYKC KVSNKALPAP IEKTISKAKG QPREFQVYTL 350
 PFSREEMTKN QVSLTCLVKKG FVPSDIAWEW ESNQGPENNY KTPPVFLSD 400
 GSFFLYSKLT VDKSRWQQGN VFSCSVMHEA LSNHYTQKSL SLSPGK 446

Light chain / Chaîne légère / Cadena ligera

DIQMTQSPSS LSASVGRDVT ITCKASDLIH NWLAWYQOKP GKAPKLLIYG 50
 ATSLETGVPS RFSGSGSGTP FTLTISLQP EDFATYYCQO YWTTFETFGQ 100
 GTKVEIKRTV AAPSVFIFPP SDEQLKSGTA SVVCLNNFY PREAKVQWKV 150
 DNAQSGNSQ ESVTEQDSKD STYSLSTSLT LSKADYEKHK VYACEVTHQG 200
 LSSPVTKSFN RGEC 214

Disulfide bridges location / Position des ponts disulfure / Posiciones de los puentes disulfuro
 Intra-H (C23-C104) 22°-96° 143°-199° 260°-320° 366°-424°
 22°-96° 143°-199° 260°-320° 366°-424°
 Intra-L (C23-C104) 23°-88° 134°-194°
 23°-88° 134°-194°
 Inter-H-L (h 5-CL 126)* 219°-214° 219°-214°
 Inter-H-H (h 11, h 14)* 225°-225° 228°-228°

*Two or three of the inter-chain disulfide bridges are not present, an average of 3 to 4 cysteinyl being conjugated each via a thioether bond to a drug linker.

*Deux ou trois des ponts disulfures inter-châines ne sont pas présents, 3 à 4 cystéinyl en moyenne étant chacun conjugué via une liaison thioéther à un linker.

*Faltan dos o tres puentes disulfuro inter-catenarios, una media de 3 a 4 cisteinil está conjugada a conectores de principio activo.

N-glycosylation sites / Sites de N-glycosylation / Posiciones de N-glicosilación
 H CH₂ N84.4:
 296, 296"

sotagliflozinum

sotagliflozin

methyl (5S)-5-C-{4-chloro-3-[(4-ethoxyphenyl)methyl]phenyl}-1-thio-β-L-xylopyranoside

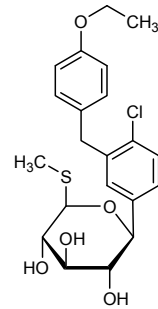
sotagliflozine

(5S)-5-C-{4-chloro-3-[(4-éthoxyphényl)méthyl]phényl}-1-thio-β-L-xylopyranoside de méthyle

sotagliflozina

(5S)-5-C-{4-cloro-3-[(4-etoxyfenil)metil]fenil}-1-tio-β-L-xilopiranósido de metilo

C₂₁H₂₅ClO₅S

**taladegibum**

taladegib

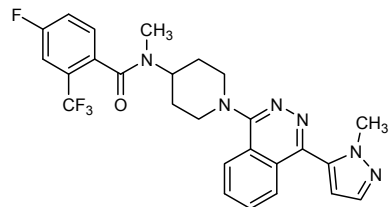
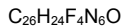
4-fluoro-N-methyl-N-{1-[4-(1-methyl-1*H*-pyrazol-5-yl)phthalazin-1-yl]piperidin-4-yl}-2-(trifluoromethyl)benzamide

taladégib

4-fluoro-N-méthyl-N-{1-[4-(1-méthyl-1*H*-pyrazol-5-yl)phthalazin-1-yl]pipérnidin-4-yl}-2-(trifluorométhyl)benzamide

taladegib

4-fluoro-N-metil-N-{1-[4-(1-metil-1*H*-pirazol-5-il)ftalazin-1-il]piperidin-4-il}-2-(trifluorometil)benzamida



talazoparibum
talazoparib

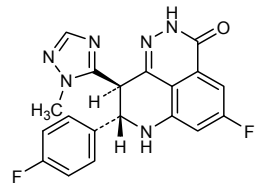
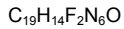
(8*S*,9*R*)-5-fluoro-8-(4-fluorophenyl)-9-(1-methyl-1*H*-1,2,4-triazol-5-yl)-2,7,8,9-tetrahydro-3*H*-pyrido[4,3,2-*de*]phthalazin-3-one

talazoparib

(8*S*,9*R*)-5-fluoro-8-(4-fluorophényl)-9-(1-méthyl-1*H*-1,2,4-triazol-5-yl)-2,7,8,9-tétrahydro-3*H*-pyrido[4,3,2-*de*]phthalazin-3-one

talazoparib

(8*S*,9*R*)-5-fluoro-8-(4-fluorofenil)-9-(1-metil-1*H*-1,2,4-triazol-5-il)-2,7,8,9-tetrahidro-3*H*-pirido[4,3,2-*de*]ftalazin-3-ona



tilapertinum
tilapertin

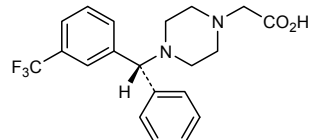
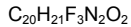
(4-{(R)-phenyl[3-(trifluoromethyl)phenyl]methyl}piperazin-1-yl)acetic acid

tilapertine

acide (4-{(R)-phényl[3-(trifluorométhyl)phényl]méthyl}pipérazin-1-yl)acétique

tilapertina

ácido (4-{(R)-fenil[3-(trifluorometil)fenil]metil}piperazin-1-il)acético



ulocuplumabum #
ulocuplumab

immunoglobulin G4-kappa, anti-[*Homo sapiens* CXCR4 (chemokine (C-X-C motif) receptor 4, fusin, stromal cell-derived factor 1 receptor, SDF-1 receptor, CXCL12 receptor, CD184)], human monoclonal antibody; gamma4 heavy chain (1-451) [*Homo sapiens* VH (IGHV3-48*02 (96.90%) -(IGHD)-IGHJ6*01) [8.8.18] (1-125) -IGHG4*01 (CH1 (126-223), hinge S10>P (233) (224-235), CH2 (236-345), CH3 (346-450), CHS K2>del (451)) (126-451)], (139-214')-disulfide with kappa light chain (1'-214') [*Homo sapiens* (V-KAPPA (IGKV1D-16*01 (98.90%) -IGKJ1*01) [6.3.9] (1'-107') -IGKC*01 (108'-214')]; dimer (231-231"-234-234")-bisdisulfide

ulocuplumab

immunoglobuline G4-kappa, anti-[*Homo sapiens* CXCR4 (récepteur 4 de chimiokine (C-X-C motif), fusine, récepteur du facteur 1 dérivé des cellules stromales, récepteur du SDF-1, récepteur du CXCL12, CD184)], anticorps monoclonal humain; chaîne lourde gamma4 (1-451) [*Homo sapiens* VH (IGHV3-48*02 (96.90%) -(IGHD)-IGHJ6*01) [8.8.18] (1-125) -IGHG4*01 (CH1 (126-223), charnière S10>P (233) (224-235), CH2 (236-345), CH3 (346-450), CHS K2>del (451)) (126-451)], (139-214')-disulfure avec la chaîne légère kappa (1'-214') [*Homo sapiens* (V-KAPPA (IGKV1D-16*01 (98.90%) -IGKJ1*01) [6.3.9] (1'-107') -IGKC*01 (108'-214')]; dimère (231-231"-234-234")-bisdisulfure

ulocuplumab

inmunoglobulina G4-kappa, anti-[*Homo sapiens* CXCR4 (receptor 4 de quimiokina (C-X-C motivo), fusina, receptor del factor 1 derivado de células estromales, receptor del SDF-1, receptor del CXCL12, CD184)], anticuerpo monoclonal humano; cadena pesada gamma4 (1-451) [*Homo sapiens* VH (IGHV3-48*02 (96.90%) -(IGHD)-IGHJ6*01) [8.8.18] (1-125) -IGHG4*01 (CH1 (126-223), bisagra S10>P (233) (224-235), CH2 (236-345), CH3 (346-450), CHS K2>del (451)) (126-451)], (139-214')-disulfuro con la cadena ligera kappa (1'-214') [*Homo sapiens* (V-KAPPA (IGKV1D-16*01 (98.90%) -IGKJ1*01) [6.3.9] (1'-107') -IGKC*01 (108'-214')]; dímero (231-231"-234-234")-bisdisulfuro

Heavy chain / Chaîne lourde / Cadena pesada
EVQLVESGG LVQPGGLRL SCAAAGFTFS SYSMNWVRQA PGKGLEWVSY 50
ISSRSRTIYY ADSVKGRFTI SRDNAKNSLY LQMNSLRDDE TAVYVCCARDY 100
GGQPFFYYYY GMWDWGGOTT VIVVSSASTKG PSVFPPLAPCS RSTSESTAAL 150
GCLVKDYYFPE PVTVSWNNSGA LTSGVHTFPV VLQSSGLYSL SSVVTPVSS 200
LGTKTYTCNV DHKPNTKVD KRVESKYGPP CPPCPAPEFL GGPSVFLPPP 250
KPKDTLMISR TPEVTCVVVD VSQEDPEVQF NWYVVDGEVH NAKTKPREEQ 300
FNSTYRVSFV LTVLHQDWLN GREYCKPVSN KGLPSSIERT ISKAKGQPRE 350
PQVYTLPPSQ EEMTKQNQVSL TCLVKGFYPS DIAVEWESNG QFENNYKTP 400
PVLDSDGSSF LYSLRTVDKS RWQEGNVFSC SVMHEALHNH YTQKSLSSL 450
G 451

Light chain / Chaîne légère / Cadena ligera
DIQMTQSPSS LSASVGDRVT ITCRASQGIS SWLAWYQQKP EKAPKSLIYA 50
ASSLQSGVPS RFSGSGSGTD FTIITISSLQP EDFVTYYCQQ YNSYPRTFGQ 100
GTVKEIKRTV AAPSVFIFPP SDEQLKSGTA SVVCLLNNFY PREAKVQWKV 150
DNAIQSGNSQ ESVTEQDSKD STYSLSSTLT LSKADYEKHK VYACEVTHQG 200
LSSPVTKNSFN RGEC 214

Disulfide bridges location / Position des ponts disulfure / Posiciones de los puentes disulfuro
Intra-H (C23-C104) 22-96 152-208 266-326 372-430
22"-96" 152"-208" 266"-326" 372"-430"
Intra-L (C23-C104) 23"-88" 134"-194"
23"-88" 134"-194"
Inter-H-L (CH1 10-CL 126) 139-214" 139"-214"
Inter-H-H (h 8, h 11) 231-231" 234-234"

N-glycosylation sites / Sites de N-glycosylation / Posiciones de N-glicosilación
H CH2 N84.4:
302, 302"

veledimexum

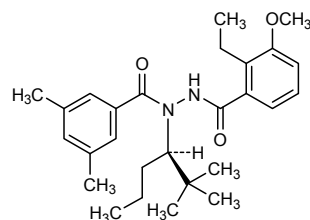
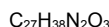
veledimex

N'-(3,5-dimethylbenzoyl)-*N'*-(*(3R*)-2,2-dimethylhexan-3-yl)-2-ethyl-3-methoxybenzohydrazide

vélédimex

N'-(3,5-diméthylbenzoyl)-*N'*-(*(3R*)-2,2-diméthylhexan-3-yl)-2-éthyl-3-méthoxybenzohydrazide

veledimex

N'-(3,5-dimethylbenzoyl)-*N'*-(*(3R*)-2,2-dimethylhexan-3-yl)-2-ethyl-3-metoxibenzohidrazida**verdinexorum**

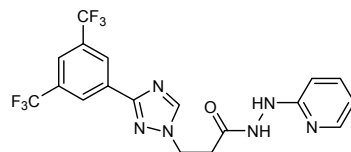
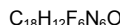
verdinexor

(2Z)-3-[3-[3,5-bis(trifluoromethyl)phenyl]-1*H*-1,2,4-triazol-1-yl]-*N'*-(pyridin-2-yl)prop-2-enehydrazide

verdinexor

(2Z)-3-[3-[3,5-bis(trifluorométhyl)phényl]-1*H*-1,2,4-triazol-1-yl]-*N'*-(pyridin-2-yl)prop-2-ènehydrazide

verdinexor

(2Z)-3-[3-[3,5-bis(trifluorometil)fénil]-1*H*-1,2,4-triazol-1-il]-*N'*-(piridin-2-il)prop-2-enohidrazida**zastumotidum #**

zastumotide

19,137,308,342,395-penta[S-(2-amino-2-oxoethyl)]-{[2-aspartic acid(K²>D),3-proline(L³>P)]glycerophosphoryl diester phosphodiesterase (*Haemophilus influenzae* strain 86-028NP EC 3.1.4.46)-(1-127)-peptide fusion protein with [2-aspartic acid(P²>D)]human melanoma-associated antigen 3 (MAGE-3 antigen, antigen MZ2-D, cancer/testis antigen 1.3 or CT1.3) fusion protein with diglycylheptahistidine}

zastumotide

19,137,308,342,395-penta[S-(2-amino-2-oxoéthyl)]-{[2-acide aspartique(K²>D),3-proline(L³>P)]phosphodiésterase du diester de glycérophosphoryle (*Haemophilus influenzae* souche 86-028NP EC 3.1.4.46)-(1-127)-peptide, protéine de fusion avec le [2-acide aspartique(P²>D)]antigène 3 humain associé au mélanome (antigène MAGE-3, antigène MZ2-D, antigen 1.3 associé au cancer des testicules ou CT1.3) protéine de fusion avec la diglycylheptahistidine}

zastumotida

19,137,308,342,395-penta[S-(2-amino-2-oxoetil)]-[{2-ácido aspártico($K^2>D$),3-prolina($L^3>P$)]fosfodiesterasa del diéster de glicerofosforilo (*Haemophilus influenzae* cepa 86-028NP EC 3.1.4.46)-(1-127)-péptido, proteína de fusión con el [2-ácido aspártico($P^2>D$)]antígeno 3 humano asociado al melanoma (antígeno MAGE-3, antígeno MZ2-D, antígeno 1.3 asociado al cáncer de testículos o CT1.3) proteína de fusión con la diglicilheptahistidina}

MDPKTIALSL LAAGVLAGCS SHSSNMANTQ MKSDKIIIAH RGASGYLPEH 50
 TLESKALAFQ QQADYLEQDL AMTKDGRLLV IHDHFLDGLT DVAKKFPHRH 100
 RKDGRRYYVID FTIKEIQSLE MTENFETMDL EQRSQHCKPE EGLEARGEAL 150
 GLVGAQAPAT EEQEAAASSSS TLVEVTLGEV PAAESP $\bar{D}PPQ$ SPQGASSLPT 200
 TMNYPLWSQS YEDSSNQEEE GPSTFPDLES EFOAALSRKV AELVHFLLLK 250
 YRAREPVTKA EMLGSVVGNW QYFFPVIFS \bar{K} ASSSLQLVFG IELMEVDPIG 300
 HLYIFATCLG LSYDGLLGDN QIMPKAGLLI IVLAIIAREG DCAPEEKIWE 350
 ELSVLEVFG REDSILGDPK KLLTQHFVQE NYLEYRQVPG SDPACYEFLW 400
 GPRALVETSY VKVLHHMVKI SGGPHISYPP LHEWVLREGE EGHHHHHHHH 450

Modified residues / Résidus modifiés / Restos modificados



Electronic structure available on Mednet: <http://mednet.who.int/>
 # Structure électronique disponible sur Mednet: <http://mednet.who.int/>
 # Estructura electrónica disponible en Mednet: <http://mednet.who.int/>

* http://www.who.int/entity/medicines/services/inn/Radical_Book_2012.pdf

AMENDMENTS TO PREVIOUS LISTS
MODIFICATIONS APPORTÉES AUX LISTES ANTÉRIEURES
MODIFICACIONES A LAS LISTAS ANTERIORES

Dénominations communes internationales recommandées (DCI Rec.): Liste 4
(Chron. Org. mond. Santé, Vol. 16, No. 3, 1962)

p. 120	penicillinase pénicillinasé	<i>remplacer la description par la suivante</i> enzyme obtenue par fermentation à partir de cultures de <i>Bacillus cereus</i>
--------	---------------------------------------	---

Denominaciones Comunes Internacionales Recomendadas (DCI Rec.): Lista 29
(Información Farmacéutica de la OMS, Vol. 3, No. 3, 1989)

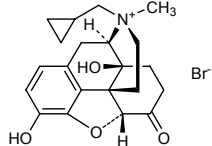
p. 2	suprimáse atosiban	<i>insertese</i> atosibán
------	------------------------------	------------------------------

Recommended International Non Proprietary Names (Rec. INN): List 58
Dénominations communes internationales recommandées (DCI Rec.): Liste 58
Denominaciones Comunes Internacionales Recomendadas (DCI Rec.): Lista 58
(WHO Drug Information, Vol. 21, No. 3, 2007)

p. 255	<i>delete/supprimer/suprimáse</i> methylnaltrexonii bromidum bromure de méthylnaltrexone bromuro de metilnaltrexona	<i>insert/insérer/insertese</i> methylnaltrexoni bromidum <i>remplacer le nom chimique et la structure par les suivants</i> <i>sustitúyase el nombre químico y la estructura por los siguientes</i>
--------	---	---

bromure de (17R)-17-(cyclopropylméthyl)-4,5α-époxyméthoxy-3,14-dihydroxy-17-méthyl-6-oxomorphinanium

bromuro de (17R)-17-(ciclopropilmetil)-4,5α-epoxi-3,14-dihidroxi-17-metil-6-oxomorfinanio



Recommended International Non Proprietary Names (Rec. INN): List 66
Dénominations communes internationales recommandées (DCI Rec.): Liste 66
Denominaciones Comunes Internacionales Recomendadas (DCI Rec.): Lista 66
(WHO Drug Information, Vol. 25, No. 3, 2011)

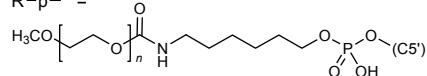
p. 307	egaptivonum pegol egaptivon pegol égaptivon pégol egaptívón pegol	<i>replace the structure by the following</i> <i>remplacer la structure par la suivante</i> <i>sustitúyase la estructura por la siguiente</i>
--------	---	---

(3'-5')-(R-p-Gm-Cm-Gm-Um-dG-dC-dA-Gm-Um-Gm-Cm-Cm-Um-Um-Cm-Gm-Gm-Cm-dC-Gm-sp-dT-Gm-dC-dG-dT-Gm-Cm-dC-Um-dC-dC-Gm-Um-dC-Am-Cm-Gm-Cm3'-3'dT)

Legend:

d = 2'-deoxy
m = 2'-O-methyl
-sp- = P-thiophosphate

R-p- =



Recommended International Non Proprietary Names (Rec. INN): List 69
Dénominations communes internationales recommandées (DCI Rec.): Liste 69
Denominaciones Comunes Internacionales Recomendadas (DCI Rec.): Lista 69
(WHO Drug Information, Vol. 27, No. 1, 2013)

p. 42	actoxumabum #	
	actoxumab	<i>replace the description and the structure by the following ones</i>
	actoxumab	<i>remplacer la description et la structure par les suivantes</i>
	actoxumab	<i>sustitúyase las descripción y la estructura por las siguientes</i>
		immunoglobulin G1-kappa, anti-[<i>Clostridium difficile</i> toxin A], <i>Homo sapiens</i>
		monoclonal antibody;
		gamma1 heavy chain (1-452) [<i>Homo sapiens</i> VH (IGHV3-33*01 (93.90%) -(IGHD)-IGHJ3*02) [8.8.15] (1-122) -IGHG1*03 (CH1 (123-220), hinge (221-235), CH2 (236-345), CH3 (346-450), CHS (451-452)) (123-452)], (225-214')-disulfide with kappa light chain (1'-214') [<i>Homo sapiens</i> V-KAPPA (IGKV1-12*01 (98.90%) -IGKJ1*01) [6.3.9] (1'-107') -IGKC*01 (108'-214')]; dimer (231-231":234-234")-bisdisulfide
		immunoglobuline G1-kappa, anti-[<i>Clostridium difficile</i> toxine A], <i>Homo sapiens</i>
		anticorps monoclonal;
		chaîne lourde gamma1 (1-452) [<i>Homo sapiens</i> VH (IGHV3-33*01 (93.90%) -(IGHD)-IGHJ3*02) [8.8.15] (1-122) -IGHG1*03 (CH1 (123-220), charnière (221-235), CH2 (236-345), CH3 (346-450), CHS (451-452)) (123-452)], (225-214')-disulfure avec la chaîne légère kappa (1'-214') [<i>Homo sapiens</i> V-KAPPA (IGKV1-12*01 (98.90%) -IGKJ1*01) [6.3.9] (1'-107') -IGKC*01 (108'-214')]; dimère (231-231":234-234")-bisdisulfure
		inmunoglobulina G1-kappa, anti-[<i>Clostridium difficile</i> toxina A], anticuerpo monoclonal de <i>Homo sapiens</i> ;
		cadena pesada gamma1 (1-452) [<i>Homo sapiens</i> VH (IGHV3-33*01 (93.90%) -(IGHD)-IGHJ3*02) [8.8.15] (1-122) -IGHG1*03 (CH1 (123-220), bisagra (221-235), CH2 (236-345), CH3 (346-450), CHS (451-452)) (123-452)], (225-214')-disulfuro con la cadena ligera kappa (1'-214') [<i>Homo sapiens</i> V-KAPPA (IGKV1-12*01 (98.90%) -IGKJ1*01) [6.3.9] (1'-107') -IGKC*01 (108'-214')]; dímero (231-231":234-234")-bisdisulfuro
		Heavy chain / Chaîne lourde / Cadena pesada QVQLVESGGGVVQPGRSLRL SCAASGFSS NYGMHWVRQA PGKGLEWVAL 50 IWYDGSNEDY TDHSVGRFTII SRDNNSKNTLY LQMNLSLRAED TAVYYCARWG 100 MVRGVIDVFD IWQGQTVTVT SSASTKGPSV FPLAPSSKST SGGLYALGCL 150 VKDYFPEPVT VSWNSGALT SVHHTFPAVLQ SSGLYSILSSV VTVPSSSLGT 200 QTYICVNHK PSNTKVDKRV EFKSCDKTHT CPPCPAPELL GGFSVFLFPP 250 KPKDTLMISR TPEVTCVVVD VSHEDPEVKF NWYVGDVEVHN NAKTKPREQQ 300 YNSTYRVVSV LTVLHQDWLN GKEYKCKVSN KALFAPIEKTH ISKAKGQPRE 350 PQVYTLPSS EEMTKNQVSL TCLVKGFYPS DIAVEWESNG QPENNYKTTP 400 PVLDSDGSFF LYSKLTVDKS RWQQGNVFSC SVMHEALHNH YTQKSLSLSP 450 GK 452
		Light chain / Chaîne légère / Cadena ligera DIQMTCQSPSS VSASVGDRTV ITCRASQGIS SWLAWYQHKP GKAKPLLIYA 50 ASSLQSGVPS RFSGSGSGTD FTLTISQGP EDFATYYCQQ ANSFPWTFGQ 100 GTVKEIKRTV AAPSVFIFPF SDEQLKSGTA SVVCLLNNFY PREAKVQWKV 150 DNAIQSGNSQ ESVTEQDSKD STYSLSTSLLT LSKADYEKHK VYACEVTHQG 200 LSSPVTKFSN RGEC 214
		Disulfide bridges location / Position des ponts disulfure / Posiciones de los puentes disulfuro Intra-H (C23-C104) 22-96 149-205 266-326 372-430 22"-96" 149"-205" 266"-326" 372"-430" Intra-L (C23-C104) 23"-88" 134"-194" 23"-88" 134"-194" Inter-H-L (h 5-CL 126) 225-214" 225"-214" Inter-H-H (h 11, h 14) 231-231" 234-234"
		N-glycosylation sites / Sites de N-glycosylation / Posiciones de N-glicosilación H CH2 N84.4: 302, 302"

p. 51	crisantaspasum #	<p>replace the description and the structure by the following ones <i>remplacer la description et la structure par les suivantes</i> <i>sustitúyase la descripción y la estructura por las siguientes</i></p> <p>L-asparaginase (EC 3.5.1.1, L-asparagine amidohydrolase) <i>Erwinia chrysanthemi</i> (<i>Dickeya dadantii</i>, <i>Pectobacterium chrysanthemi</i>) tetramer α_4</p> <p>L-asparaginase (EC 3.5.1.1, L-asparagine amidohydrolase) <i>Erwinia chrysanthemi</i> (<i>Dickeya dadantii</i>, <i>Pectobacterium chrysanthemi</i>), tétramère α_4</p> <p>L-asparaginasa (EC 3.5.1.1, L-asparagina amidohidrolasa) de <i>Erwinia chrysanthemi</i> (<i>Dickeya dadantii</i>, <i>Pectobacterium chrysanthemi</i>), tetrámero α_4</p> <p>Monomer / Monomère / Monómero ADKLPNIVIL ATGGTTAGSA ATGTQTTGYK AGALGVDTLI NAVPEVKLAA 50 NVKGEQFSNM ASENNMTGDVV LKLSQRVNEI LARDVDGVV ITHGTTDVEE 100 SAYFLHTVK SDKPVVVFVA MRPAATAISAD GPMLLEAVR VAGDKQSRGR 150 GVMVVLNDRI GSARYITKTN ASTLDTFKAN EEGYLGVIIG NRIYYQNRID 200 KLHTRSVFD VRGLTSPLPKV DILYGYQDDP ELYYDAAIQH GVKGIVYAGM 250 GAGSVSVRGIA AGMRKAMEKG VVVIIRSTRTG NGIVPPDEEL PGLVSDSLNP 300 AHARILLMLA ITRTSDFPKVI QEYFHTY 327</p>
p. 68	nivolumab #	<p>replace the description by the following <i>remplacer la description par la suivante</i> <i>sustitúyase la descripción por la siguiente</i></p> <p>immunoglobulin G4-kappa, anti-[<i>Homo sapiens</i> PDCD1 (programmed cell death 1, PD-1, PD1, CD279)], <i>Homo sapiens</i> monoclonal antibody; gamma4 heavy chain (1-440) [<i>Homo sapiens</i> VH (IGHV3-33*01 (91.80%) - (IGHD)-IGHJ4*01) [8.8.6] (1-113) -IGHG4*01 hinge S10>P (221) (114-440)], (127-214')-disulfide with kappa light chain (1'-214') [<i>Homo sapiens</i> V-KAPPA (IGKV3-11*01 (98.90%) -IGKJ1*01) [6.3.9] (1'-107') -IGKC*01 (108'-214')]; (219-219":222-222")-bisdisulfide dimer</p> <p>immunoglobuline G4-kappa, anti-[<i>Homo sapiens</i> PDCD1 (protéine 1 de mort cellulaire programmée, PD-1, PD1, CD279)], <i>Homo sapiens</i> anticorps monoclonal; chaîne lourde gamma4 (1-440) [<i>Homo sapiens</i> VH (IGHV3-33*01 (91.80%) - (IGHD)-IGHJ4*01) [8.8.6] (1-113) -IGHG4*01 charnière S10>P (221) (114-440)], (127-214')-disulfure avec la chaîne légère kappa (1'-214') [<i>Homo sapiens</i> V-KAPPA (IGKV3-11*01 (98.90%) -IGKJ1*01) [6.3.9] (1'-107') -IGKC*01 (108'-214')]; dimère (219-219":222-222")-bisdisulfure</p> <p>inmunoglobulina G4-kappa, anti-[PDCD1 de <i>Homo sapiens</i> (proteína 1 de muerte celular programada, PD-1, PD1, CD279)], anticuerpo monoclonal de <i>Homo sapiens</i>; cadena pesada gamma4 (1-440) [<i>Homo sapiens</i> VH (IGHV3-33*01 (91.80%) - (IGHD)-IGHJ4*01) [8.8.6] (1-113) -IGHG4*01 bisagra S10>P (221) (114-440)], (127-214')-disulfuro con la cadena ligera kappa (1'-214') [<i>Homo sapiens</i> V-KAPPA (IGKV3-11*01 (98.90%) -IGKJ1*01) [6.3.9] (1'-107') -IGKC*01 (108'-214')]; dímero (219-219":222-222")-bisdisulfuro</p>
p. 77-78	rovatiirelinun	<p>replace the chemical name by the following <i>remplacer le nom chimique par le suivant</i> <i>sustitúyase el nombre químico por el siguiente</i></p> <p>(4S,5S)-5-methyl-N-[(2S)-1-[(2R)-2-methylpyrrolidin-1-yl]-1-oxo-3-(1,3-thiazol-4-yl)propan-2-yl]-2-oxo-1,3-oxazolidine-4-carboxamide</p>

(4S,5S)-5-méthyl-N-[(2S)-1-[(2R)-2-méthylpyrrolidin-1-yl]-1-oxo-3-(1,3-thiazol-4-yl)propan-2-yl]-2-oxo-1,3-oxazolidine-4-carboxamide

(4S,5S)-5-metil-N-[(2S)-1-[(2R)-2-metilpirrolidin-1-il]-1-oxo-3-(1,3-tiazol-4-il)propan-2-il]-2-oxo-1,3-oxazolidina-4-carboxamida

Recommended International Non Proprietary Names (Rec. INN): List 70
Dénominations communes internationales recommandées (DCI Rec.): Liste 70
Denominaciones Comunes Internacionales Recomendadas (DCI Rec.): Lista 70
(WHO Drug Information, Vol. 27, No. 3, 2013)

p. 291	filgotinibum	
	filgotinib	<i>replace the chemical name by the following</i>
	filgotinib	<i>remplacer le nom chimique par le suivant</i>
	filgotinib	<i>sustitúyase el nombre químico por el siguiente</i>
		<i>N</i> -(5-{4-[(1,1-dioxo- λ^6 -thiomorpholin-4-yl)methyl]phenyl}[1,2,4]triazolo[1,5-a]pyridin-2-yl)cyclopropanecarboxamide
		<i>N</i> -(5-{4-[(1,1-dioxo- λ^6 -thiomorpholin-4-yl)méthyl]phényl}[1,2,4]triazolo[1,5-a]pyridin-2-yl)cyclopropanecarboxamide
		<i>N</i> -(5-{4-[(1,1-dioxo- λ^6 -tiomorfolin-4-il)metil]fenil}[1,2,4]triazolo[1,5-a]piridin-2-il)ciclopropanocarboxamida
p. 320	delete/supprimer/suprimáse	insert/insérer/insertese
	methylnaltrexonii bromidum	methylnaltrexoni bromidum
	methylnaltrexone bromide	<i>replace the chemical name by the following one</i>
		(17 <i>R</i>)-17-(cyclopropylmethyl)-4,5-epoxy-3,14-dihydroxy-17-methyl-6-oxomorphanium bromide

Recommended International Non Proprietary Names (Rec. INN): List 71
Dénominations communes internationales recommandées (DCI Rec.): Liste 71
Denominaciones Comunes Internacionales Recomendadas (DCI Rec.): Lista 71
(WHO Drug Information, Vol. 28, No. 1, 2014)

p. 94	mavatrepum	
	mavatrep	<i>replace the chemical name by the following</i>
	mavatrep	<i>remplacer le nom chimique par le suivant</i>
	mavatrep	<i>sustitúyase el nombre químico por el siguiente</i>
		2-[2-(2-((1 <i>E</i>)-2-[4-(trifluoromethyl)phenyl]ethenyl)-1 <i>H</i> -benzimidazol-5-yl)phenyl]propan-2-ol
		2-[2-(2-((1 <i>E</i>)-2-[4-(trifluorométhyl)phényl]éthényl)-1 <i>H</i> -benzimidazol-5-yl)phényl]propan-2-ol
		2-[2-(2-((1 <i>E</i>)-2-[4-(trifluorometil)fenil]etenil)-1 <i>H</i> -benzoimidazol-5-il)fenil]propan-2-ol
p. 106	roniciclibum	
	roniciclib	<i>replace the chemical name by the following</i>
	roniciclib	<i>remplacer le nom chimique par le suivant</i>
	roniciclib	<i>sustitúyase el nombre químico por el siguiente</i>
		(<i>R</i>)-cyclopropyl(4-{ 4-{ [(2 <i>R</i> ,3 <i>R</i>)-3-hydroxybutan-2-yl]oxy}-5-(trifluoromethyl)pyrimidin-2-yl]amino}phenyl)imino- λ^6 -sulfanone

(*R*)-cyclopropyl(4-{[4-[(2*R*,3*R*)-3-hydroxybutan-2-yl]oxy}-5-(trifluorométhyl)pyrimidin-2-yl]amino}phényl)imino-λ⁶-sulfanone

(*R*)-ciclopropil(4-{[4-[(2*R*,3*R*)-3-hidroxibutan-2-ii]oxi}-5-(trifluorometil)pirimidin-2-ii]amino}fenil)imino-λ⁶-sulfanona

p. 111

topsalsinum #

topsalsin
topsalsine
topsalisina

replace the description by the following
remplacer la description par la suivante
sustitúyase la descripción por la siguiente

recombinant DNA derived proaerolysin, pore-forming protein, from *Aeromonas hydrophila*, with the furin site substituted with a prostate specific antigen (PSA) cleavage site, fusion protein with 6 histidines, produced in *Escherichia coli* (nonglycosylated):

[427-L-histidine(K>H),428-L-serine(V>S),429-L-serine(R>S),430-L-lysine(R>K),431-L-leucine(A>L),432-L-glutamine(R>Q)]proaerolysin *Aeromonas hydrophila* fusion protein with hexa-L-histidine

proaérolysine, protéine formant des pores, d'*Aeromonas hydrophila* dont le site furine est substitué par le site de clivage reconnu par l'antigène prostatique spécifique (APS), protéine de fusion avec 6 histidines, produite par *Escherichia coli* à partir d'ADN recombinant (non glycosylée) :

[427-L-histidine(K>H),428-L-sérine(V>S),429-L-sérine(R>S),430-L-lysine(R>K),431-L-leucine(A>L),432-L-glutamine(R>Q)]proaérolysine d'*Aeromonas hydrophila* protéine de fusion avec l'hexa-L-histidine

proaerolisina, proteína formadora de poros, d'*Aeromonas hydrophila* cuyo sitio furina está substituido por el sitio de clivaje reconocido por el antígeno prostático específico, proteína de fusión con 6 histidinas, producida por *Escherichia coli* a partir de ADN recombinante (no glicosilada) :
[427-L-histidina(K>H),428-L-serina(V>S),429-L-serina (R>S),430-L-lisina(R>K),431-L-leucina(A>L),432-L-glutamina(R>Q)]proaerolisina d'*Aeromonas hydrophila* proteína de fusión con hexa-L-histidina

Procedure and Guiding Principles / Procédure et Directives / Procedimientos y principios generales

The text of the *Procedures for the Selection of Recommended International Nonproprietary Names for Pharmaceutical Substances and General Principles for Guidance in Devising International Nonproprietary Names for Pharmaceutical Substances* will be reproduced in proposed INN lists only.

Les textes de la *Procédure à suivre en vue du choix de dénominations communes internationales recommandées pour les substances pharmaceutiques* et des *Directives générales pour la formation de dénominations communes internationales applicables aux substances pharmaceutiques* seront publiés seulement dans les listes des DCI proposées.

El texto de los *Procedimientos de selección de denominaciones comunes internacionales recomendadas para las sustancias farmacéuticas* y de los *Principios generales de orientación para formar denominaciones comunes internacionales para sustancias farmacéuticas* aparece solamente en las listas de DCI propuestas.